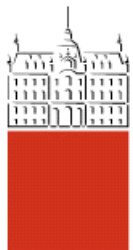


Univerza
v Ljubljani

Fakulteta
*za gradbeništvo
in geodezijo*



Jamova cesta 2
1000 Ljubljana, Slovenija
<http://www3.fgg.uni-lj.si/>

DRUGG – Digitalni repozitorij UL FGG
<http://drugg.fgg.uni-lj.si/>

To je izvirna različica zaključnega dela.

Prosimo, da se pri navajanju sklicujte na
bibliografske podatke, kot je navedeno:

Turčić, M., 2015. Terestrično lasersko
skeniranje prelivne stene MHE Melje za
izračun deformacij. Diplomska naloga.
Ljubljana, Univerza v Ljubljani, Fakulteta
za gradbeništvo in geodezijo. (mentorica
Savšek, S., somentor Kregar, K.): 35 str.

Datum arhiviranja: 08-10-2015

University
of Ljubljana

Faculty of
*Civil and Geodetic
Engineering*



Jamova cesta 2
SI – 1000 Ljubljana, Slovenia
<http://www3.fgg.uni-lj.si/en/>

DRUGG – The Digital Repository
<http://drugg.fgg.uni-lj.si/>

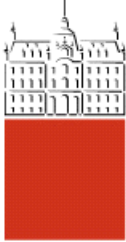
This is original version of final thesis.

When citing, please refer to the publisher's
bibliographic information as follows:

Turčić, M., 2015. Terestrično lasersko
skeniranje prelivne stene MHE Melje za
izračun deformacij. B.Sc. Thesis.
Ljubljana, University of Ljubljana, Faculty
of civil and geodetic engineering.
(supervisor Savšek, S., co-supervisor
Kregar, K.): 35 pp.

Archiving Date: 08-10-2015

Univerza
v Ljubljani
*Fakulteta za
gradbeništvo in
geodezijo*



Jamova 2
1000 Ljubljana, Slovenija
telefon (01) 47 68 500
faks (01) 42 50 681
fgg@fgg.uni-lj.si

UNIVERZitetni ŠTUDIJSKI
PROGRAM PRVE STOPNJE
GEODEZIJA IN
GEOINFORMATIKA

Kandidat:

MATEO TURČIĆ

**TERESTRIČNO LASERSKO SKENIRANJE PRELIVNE
STENE MHE MELJE ZA IZRAČUN DEFORMACIJ**

Diplomska naloga št.: 93/GIG

**TERRESTRIAL LASER SCANNING OF THE
OVERFLOW WALL ON A SMALL HYDRO POWER
PLANT MELJE FOR DEFORMATION CALCULATIONS**

Graduation thesis No.: 93/GIG

Mentorica:
doc. dr. Simona Savšek

Somentor:
asist. Klemen Kregar

Ljubljana, 15. 09. 2015

STRAN ZA POPRAVKE, ERRATA

Stran z napako

Vrstica z napako

Namesto

Naj bo

»Ta stran je namenoma prazna.«

IZJAVA O AVTORSTVU

Podpisani **MATEO TURČIĆ** izjavljam, da sem avtor diplomske naloge z naslovom:
„TERESTRIČNO LASERSKO SKENIRANJE PRELIVNE STENE MALE HIDROELEKTRARNE MELJE ZA IZRAČUN DEFORMACIJ“.

Izjavljam, da je elektronska različica v vsem enaka tiskani različici.

Izjavljam, da dovoljujem objavo elektronske različice v repozitoriju UL FGG.

Ljubljana, 7. september 2015

MATEO TURČIĆ

»Ta stran je namenoma prazna.«

BIBLIOGRAFSKO – DOKUMENTACIJSKA STRAN IN IZVLEČEK

UDK:	528.48:621.311.21(043.2)
Avtor:	Mateo Turčić
Mentorica:	doc. dr. Simona Savšek
Somentor:	asist. Klemen Kregar
Naslov:	Terestrično lasersko skeniranje prelivne stene male hidroelektrarne Melje za izračun deformacij
Tip dokumenta:	Diplomska naloga - UNI
Obseg in oprema:	35 str., 20 tabel., 42 sl., 19 en., 6 pril.
Ključne besede:	lasersko skeniranje, hidroelektrarna, projektni koordinatni sistem, izračun deformacij

Izvleček

V diplomski nalogi smo testirali elektronski tahimeter Leica Nova MultiStation MS50, ki vključuje tehnologijo terestričnega laserskega skeniranja. Izvedeni sta bili dve neodvisni izmeri prelivne stene male hidroelektrarne Melje, na osnovi katerih smo ocenili deformacije. Ker instrument omogoča direktno georeferenciranje, smo skenograme posamezne terminske izmere enostavno združili v projektni koordinatni sistem. Primerjavo oblakov točk na osnovi dveh terminskih izmer smo obdelali s prosto dostopnima programoma Cloud Compare in MeshLab.

»Ta stran je namenoma prazna.«

BIBLIOGRAPHIC – DOCUMENTALISTIC INFORMATION AND ABSTRACT

UDC:	528.48:621.311.21(043.2)
Author:	Mateo Turčić
Supervisor:	Assist. Prof. Simona Savšek, Ph.D.
Co-advisor:	Assist. Klemen Kregar
Title:	Terrestrial laser scanning of the overflow wall on a small hydro power plant Melje for deformation calculations
Document type:	Graduation Thesis – University studies
Scope and tools:	35 p., 20 tab., 42 fig., 19 eq., 6 ann.
Key words:	laser scanning , hydro power plants, project coordinate system, calculating the deformation

Abstract

In this thesis, we tested an electronic total station Leica Nova MS50 MultiStation, which includes technology of terrestrial laser scanning. There have been two independent measuring the overflow wall of the small hydro power plant Melje which allowed us to assess the deformation of overflow wall. Because the instrument enables the direct georeferencing, we have easily integrated point clouds from first and second epoch into the project coordinate system. Comparision of point clouds from first and second epoch was treated with open source programs Cloud Compare and MeshLab.

»Ta stran je namenoma prazna.«

ZAHVALA

Za veliko pomoč in nasvete ter za njihov čas pri izdelavi diplomskega dela se iskreno zahvaljujem mentorici doc. dr. Simoni Savšek in somentorju asist. Klemenu Kregarju.

Zahvaljujem se tudi mojim bližnjim za njihovo podporo v času študija in pri izdelavi diplomskega dela.

»Ta stran je namenoma prazna.«

KAZALO VSEBINE

Izjave	V
Bibliografsko – dokumentacijska stran in izvleček	VII
Bibliographic – documentalistic information and abstract	IX
Zahvala	XI
CILJ IN NAMEN	1
1 MALA HIDROELEKTRARNA MELJE	2
2 OBLIKA OPZOVALNE MREŽE	4
3 STABILIZACIJA IN SIGNALIZACIJA TOČK	6
4 INSTRUMENTARIJ IN MERSKA OPREMA	9
5 METODE IZMERE	13
5.1 Klasične terestrične metode izmere	13
5.1.1 Triangulacija in trilateracija	13
5.1.2 Trigonometrično višinomerstvo	13
5.2 Terestrično lasersko skeniranje	14
6 MERITVE IN OBDELAVA MERITEV	17
6.1 Meteorološki popravki	17
6.2 Geometrični popravki	19
6.3 Projekcijski popravki	20
6.4 Skenogrami in natančnost skeniranja točk	20
7 IZRAVNAVA GEODETSKE MREŽE	24
7.1 Horizontalna izravnava	25
7.2 Višinska izravnava	28
8 IZRAČUN DEFORMACIJ PRELIVNE STENE MHE MELJE	29
9 ZAKLJUČEK	34
VIRI	36

»Ta stran je namenoma prazna.«

KAZALO TABEL

Tabela 1. Tehnični podatki instrumenta Leica Nova MultiStation MS50 (Geoservis, 2015)	10
Tabela 2. Podatki o aritmetičnih sredinah meteoroloških parametrov v prvi terminski izmeri 21. 04. 2015.	18
Tabela 3. Podatki o aritmetičnih sredinah meteoroloških parametrov v drugi terminski izmeri 10. 07. 2015.	18
Tabela 4. Referenčni podatki za tahimeter Leica Nova MS50 (Geoservis, 2015.)	18
Tabela 5. Empirično določene konstante za izračun grupnega lomnega količnika	18
Tabela 6. Pridobljene velikosti oblakov točk in čas zajema v prvi terminski izmeri dne 21. 04. 2015.	20
Tabela 7. Pridobljene velikosti oblakov točk in čas zajema v drugi terminski izmeri dne 10. 07. 2015.	21
Tabela 8. Tehnični podatki o skeniraju instrumenta Leica Nova MultiStation MS50 (Geoservis, 2015)	23
Tabela 9. Koordinate danih točk	24
Tabela 10. Približne koordinate novih točk	24
Tabela 11. Sredine horizontalnih smeri, zenithnih razdalj in reducirane dolžine za meritve, ki smo izvajali dne 21. 04. 2015.	24
Tabela 12. Sredine horizontalnih smeri, zenithnih razdalj in reduciranih dolžin za meritve, ki smo jih izvajali dne 10. 07. 2015.	25
Tabela 13. Izravnane horizontalne koordinate iz meritov 21. 04. 2015.	26
Tabela 14. Izravnane horizontalne koordinate iz meritov 10. 07. 2015.	27
Tabela 15. Izravnane višine točk prve terminske izmere dne 21. 04. 2015.	28
Tabela 16. Izravnane višine točk druge terminske izmere dne 10. 07. 2015.	28
Tabela 17. Primer: Koordinate ogljišč kvadra/sekторja 12	30
Tabela 18. Izračunane minimalna in maksimalna razdalja ter srednja vrednost med dvema terminskima izmerama za posamezne sektorje	31
Tabela 19. Podatki o oddaljenosti med skenogramoma v sektorju 5	32
Tabela 20. Podatki o oddaljenosti med skenogramoma v sektorju 20	33

»Ta stran je namenoma prazna.«

KAZALO SLIK

Slika 1.	Jez Melje pred letom 2006. (www. sl.wikipedia.org)	2
Slika 2.	Izgradnja male hidroelektrarne Melje (www. http://maribor24.si/)	2
Slika 3.	Mala hidroelektrarna Melje (www.dem.si/sl-si/Elektrarne-in-proizvodnja)	3
Slika 4.	Oblika opazovalne mreže male hidroelektrarne Melje	4
Slika 5.	Stabilizacija z betonskim stebrom (Vodopivec in Kogoj, 2005)	6
Slika 6.	Stabilizacija točke O2	6
Slika 7.	Stabilizacija točke O1	6
Slika 8.	Stabilizacija točke O4	7
Slika 9.	Stabilizacija točke O3	7
Slika 10.	Talna stabilizacija merske točke in ekscentrično stojišče (Vodopivec in Kogoj, 2005)	7
Slika 11.	Signalizacija talne točke O3	8
Slika 12.	Signalizacija točke O2	8
Slika 13.	Tahimeter Leica Nova MultiStation MS50 (http://www.leica-geosystems.com)	9
Slika 14.	Leica Wild GPH1P	11
Slika 15.	Trinožni podstavek in nastavek za reflektor	11
Slika 16.	Aspiracijski psihrometer	12
Slika 17.	Paroscientific digitalni barometer	12
Slika 18.	Klešče za varovalni čep	12
Slika 19.	Žepni merski trak Leica (http://images.tigersupplies.com)	12
Slika 20.	Trigonometrično višinomerstvo (Fröhlich, 2013)	13
Slika 21.	Impulzni način merjenja dolžin - osnovni princip (Kogoj, 2005)	14
Slika 22.	Fazni način merjenja dolžin (Kogoj, 2005)	15
Slika 23.	Triangulacijska metoda z eno in dvama kamerama (Kolenc, 2004)	15
Slika 24.	Laserski skener s pritrjenim digitalnim fotoaparatom (Hostnik, 2013)	16
Slika 25.	Postopek ročnega finega viziranja v prvem polgirusu s stojišča S1	17
Slika 26.	Izvajanje meritev na stojišču S1 v prvi terminski izmeri dne 21. 04. 2015.	17
Slika 27.	Prikaz izbranega območja skeniranja s stojišča S2 v prvi terminski izmeri dne 21. 04. 2015.	20
Slika 28.	Skenogram iz stojišča O1 zajet v prvi terminski izmeri dne 21. 04. 2015.	21
Slika 29.	Skenogram iz stojišča O1 zajet v drugi terminski izmeri dne 10. 07. 2015.	21
Slika 30.	Skenogram iz stojišča O2 zajet v prvi terminski izmeri dne 21. 04. 2015.	22
Slika 31.	Skenogram iz stojišča O2 zajet v drugi terminski izmeri dne 10. 07. 2015.	22
Slika 32.	Skenogram iz stojišča O2 zajet v prvi terminski izmeri dne 21. 04. 2015.	22
Slika 33.	Skenogram iz stojišča O2 zajet v drugi terminski izmeri dne 10. 07. 2015.	22
Slika 34.	Združeni skenogrami iz stojiš O1, O2 in S2 v prvi terminski izmeri dne 21. 04. 2015.	23
Slika 35.	Združeni skenogrami iz stojiš O1, O2 in S2 v drugi terminski izmeri dne 10. 07. 2015.	23
Slika 36.	Prikaz geodetske mreže in standardnih elips pogreškov prve terminske izmere dne 21. 04. 2015	26
Slika 37.	Prikaz geodetske mreže in standardnih elips pogreškov druge terminske izmere dne 10. 07. 2015	27
Slika 38.	Razlaga octree strukture (www.jara.org)	29
Slika 39.	Razdelitev prelivne stene na sektorje	30
Slika 40.	Prikaz izdelave sektorja 12	30
Slika 41.	Grafični prikaz oddaljenosti dveh skenogramov v sektorju 5	32
Slika 42.	Grafični prikaz oddaljenosti dveh skenogramov v sektorju 20	33

»Ta stran je namenoma prazna.«

CILJ IN NAMEN

Lasersko skeniranje je novejša geodetska metoda, s katero prikazujemo realni svet v virtualnem 3D prikazu. Njegova visoko razvita tehnologija omogoča snemanje več milijonov točk, ki se združujejo v gost oblak točk, ki ga obdelamo v ustremnem programu. Lasersko skeniranje se najbolj pogosto uporablja v geodeziji, gradbeništvu, arhitekturi, arheologiji in v industriji.

Namen diplomske naloge je bil na konkretnem primeru preučiti potek skeniranja in obdelave pridobljenih podatkov v poljubnem programu ter preučiti primernost uporabe terestričnega laserskega skenerja za potrebe ugotavljanja deformacij. Testni primer je bila prelivna stena male hidroelektrarne Melje, kjer tudi sicer potekajo specialne precizne geodetske meritve v območju sidra S2 z namenom ugotavljanja deformacij prelivne stene. Prva terenska izmera je bila izvedena 21. aprila 2015, ko smo skupaj s študenti druge stopnje študijskega programa Geodezija in geoinformatika Fakultete za gradbeništvo in geodezijo opravili terenske meritve ter iz teh meritev pridobili oblak točk prelivne stene male hidroelektrarne Melje. Druga terminska izmera je bila izvedena 10. junija 2015, ko smo na osnovi meritev ugotavljni premike prelivne stene MHE Melje. Na osnovi dveh neodvisnih izmer smo testirali uporabnost elektronskega tahimetra Leica Nova MultiStation MS50 za postavljenou hipotezo ali je metoda terestričnega laserskega skeniranja primerna za ugotavljanje premikov.

Diplomska naloga je razdeljena na dva dela, in sicer na teoretični in na praktični del.

Teoretični del vsebuje poglavje o zgodovini male hidroelektrarne Melje ter splošne podatke o njej. Mala hidroelektrarna je bila zgrajena, da skrbi za biološki minimum v stari strugi reke Drave in tudi, da proizvaja električno energijo.

Drugo in tretje poglavje opisujeta obliko opazovalne mreže ter vrsto in način stabilizacije in signalizacije posamezne točke oziroma vsakega stojišča v mikro mreži.

V četrtem poglavju je podrobno opisan instrument Leica Nova MultiStation MS50, ki smo ga uporabljali tako za izmero terestrične mikro mreže, kakor tudi za skeniranje prelivne stene male hidroelektrarne Melje. To je najnovejši instrument proizvajalca Leica Geosystems, ki omogoča številne napredne funkcije.

Teoretični del vsebuje še opis metod izmere, in sicer klasične terestrične metode izmere in laserskega skeniranja.

Drugi del diplomske naloge je praktični. V šestem in sedmem poglavju obravnavamo obdelavo meritve in skenogramov ter izvedemo položajno in višinsko izravnavo terestrične mikro mreže. Osmo poglavje podrobno opisuje izračun deformacij prelivne stene male hidroelektrane Melje s pomočjo laserskega terestričnega skeniranja. Prikazani so skenogrami iz vsakega stojišča, izračunana je natančnost skeniranja ter prikazana obdelava skenogramov. Za zaključek so grafično ter računsko prikazane deformacije prelivne stene male hidroelektrarne Melje. V nalogi skušamo na osnovi testnega primera in uporabe elektronskega tahimetra Leica Nova MultiStation MS50 ugotoviti primernost metode laserskega skeniranja za ugotavljanje premikov in deformacij. Podamo kritično oceno primernosti uporabljenih metodologij glede na uporabljeni mersko opremo in zahteve naročnika.

1 MALA HIDROELEKTRARNA MELJE

Mala hidroelektrarna Melje se nahaja na $46^{\circ}33'39.0''$ severne geografske širine in $15^{\circ}40'23.5''$ vzhodne geografske dolžine v regionalnem središču pokrajine Štajerske, v mestu Maribor ob jezu Melje v strugi reke Drave (slika 1).

To je ena izmed osmih hidroelektrarn v Sloveniji, ki se nahajajo na slovenskem delu reke Drave in je tudi najmanjša med njimi. Za upravljanje in vzdrževanje male hidroelektrarne Melje je zadolženo podjetje „Dravske elektrarne Maribor d. o. o.“.



Slika 1. Jez Melje pred letom 2006. (www.sl.wikipedia.org)

Marca 2006 se je začela prenova jezu Melje, nadvišanje dovodnega kanala ter izgradnja male hidroelektrarne Melje (slika 2). Izvedena je bila kompletna zamenjava hidromehanske opreme jezu z nadvišanjem zapornic vseh šestih pretočnih polj. Zamenjana je bila elektro oprema in sistem vodenja, na novo so bili zgrajeni srednjepetostno in nizkonapetostno stikališče ter nova mala hidroelektrarna na desnem bregu Drave za potrebe izkoriščanja ekološko sprejemljivega pretoka, ki se preliva v strugo Drave. Zaradi zagotavljanja biološkega minimuma v stari strugi reke Drave hidroelektrarna izkorišča predpisani zimski pretok, ki znaša 10 m^3 na sekundo ter poletni pretok, ki je dvakrat večji in znaša 20 m^3 na sekundo.



Slika 2. Izgradnja male hidroelektrarne Melje (<http://www.maribor24.si/>)

Elektrarna vsebuje dva agregata, katerih namen je proizvodnja električne energije. Predvidena letna proizvodnja električne energije male hidroelektrarne Melje je 8,69 GWh. Prvi agregat se nahaja v novi strojnični zgradbi ob prelivnem zidu dovodnega kanala hidroelektrarne Zlatoličje in ima pretočno sposobnost $20 \text{ m}^3/\text{s}$. Drugi agregat, ki se uporablja le kot rezerva, se nahaja v strojnični zgradbi na levem bregu reke Drave s protočnostjo $10 \text{ m}^3/\text{s}$.

Prenova jezu Melje je bila zaključena avgusta 2009. Mala hidroelektrarna Melje pa je začela obratovati januarja 2009. (vir: <http://www.energetika-portal.si/novica/n/projekt-prenove-hidroelektrarne-zlatolicje-jezu-melje-in-izgradnje-male-hidroelektrarne-melje-je-z/>)



Slika 3. Mala hidroelektrarna Melje (www.dem.si/sl-si/Elektrarne-in-proizvodnja)

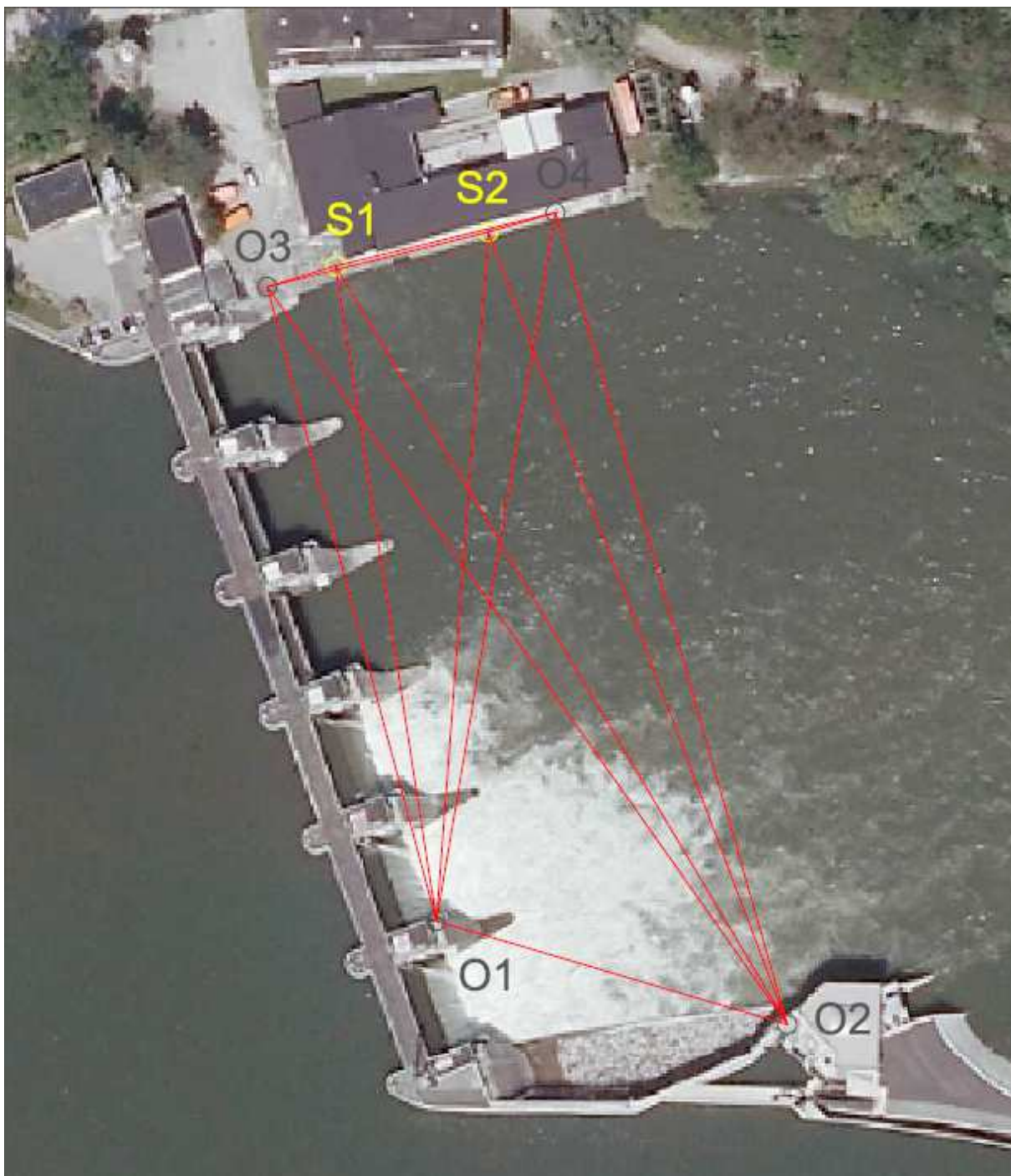
Malo hidroelektrarno Melje po karakteristikah uvrščamo med velike pregrade zaradi svoje 17 metrov visoke težnostno betonske pregrade (slika 3). Za vse velike pregrade je potrebno periodično spremljanje premikov objekta v prostoru. Spremljanje premikov temelji na zakonodaji in tehničnih predpisih:

- Pravilnik o tehničnem opazovanju visokih jezov, Ur. l. SFRJ, št. 7/66;
- Zakon o varstvu okolja (ZVO-1-UPB1), Ur. l. RS, št. 39/2006.

Na območju male hidroelektrarne Melje je bila vzpostavljena in projektirana terestrična mikro mreža z referenčnimi in kontrolnimi točkami, katerim z geodetskimi terestričnimi meritvami določamo prostorske koordinate. Stabilnost referenčnih točk in značilne premike kontrolnih točk na prelivnem polju ugotavljamo s primerjavo dveh neodvisnih terminskih izmer letno. Med kontrolne meritve uvrščamo izvajanje meritev, obdelavo podatkov in analizo rezultatov. Ugotavljanje premikov in stabilnosti pregradnega objekta ima velik pomen pri zagotavljanju varnosti za okolico hidroelektrarne – za človeška življenja in tudi za njihovo lastnino.

2 OBLIKA OPAZOVALNE MREŽE

Na sliki 4 je prikazana oblika opazovalne mreže male hidroelektrarne Melje na podlagi državnega ortofoto posnetka.



Slika 4. Oblika opazovalne mreže male hidroelektrarne Melje

Terestrično mikro mrežo male hidroelektrarne Melje sestavljajo štiri točke osnovne mreže (O1, O2, O3 in O4) ter dve pomožni točki (S1 in S2). Štiri osnovne točke so razporejene tako, da tvorijo geodetski štirikotnik, ki zagotavlja zelo zanesljive rezultate meritev. Dve točki osnovne mreže godetskega štirikotnika, ki sta stabilizirani na obali (O3 in O4), definirata geodetski datum.

Mreža je definirana in vzpostavljena na osnovi zahtev investitorja in rezultatov simulacije. Število in način medsebojnih povezav nam zagotavlja dovolj čvrsto mrežo, omogoča dobro in hitro odkrivanje ter izločitev grobih pogreškov.

Terestrična mikro mreža male hidroelektrarne Melje je sestavljena iz štirih referenčnih točk, od katerih se dve nahajata na betonskih stebrih, dve pa sta domnevno stabilni talni točki. Talni točki O3 in O4, ki sta locirani na stabilni obali ob črpališču Melje, določata geodetski datum horizontalne in višinske mreže.

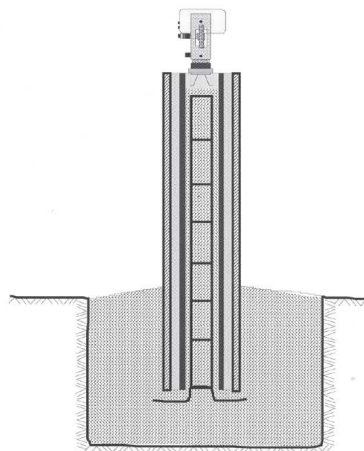
Geodetska horizontalna mreža je terestrična triangulacijsko – trilateracijska (kombinirana) mikro mreža. Višine točk so določene z metodo trigonometričnega višinomerstva, ki je zaradi zahtevnega dostopa prelivne stene edina primerna.

Obe mreži, horizontalna in tudi višinska, vključujeta dve osnovni točki na stebrih (O1 in O2) ter dve pomožni točki (S1 in S2), ki ju v postopku izračuna obravnavamo kot novi točki. Zaradi zadostnega števila povezav, kar nam omogoča ugotavljanje in izločanje grobo pogrešenih opazovanj, dobimo pričakovano in zahtevano natančnost določitve prostorskih koordinat novih točk, ki jo je predpisal naročnik [1].

3 STABILIZACIJA IN SIGNALIZACIJA TOČK

Terestrično mikro mrežo male hidroelektrarne Melje sestavljajo štiri točke osnovne mreže ter dve pomožni točki.

Dve od štirih točk osnovne mreže male hidroelektrarne Melje in sicer točki O1 in O2 sta stabilizirani z betonskim stebrom, ki omogoča prisilno centriranje (slika 5). To je klasični način stabilizacije v preciznih mikro mrežah za ugotavljanje deformacij.



Slika 5. Stabilizacija z betonskim stebrom (Vodopivec in Kogoj, 2005)

Oba stebra (točki O1 in O2) sta okrogla armirano betonska steba, široka okrog 30 centimetrov in visoka 140 centimetrov. Stebra sta zaščitena z betonsko cevjo in vmesnim praznim prostorom, ki je zapolnjen s temperaturnim izolatorjem. Na glavi steba je vzidana centrirna kovinska plošča, ki ima vgrajen srčni vijak, na katerega privijemo trinožni podstavek instrumenta ali nosilec prizme z možnostjo horizontiranja (slika 6 in slika 7).

Slabosti takšnega načina stabilizacije so možnost lokalnega premika, možnost nagiba, takšna točka lahko predstavlja fizično oviro in velik strošek izdelave.

Prednosti so velika lastna stabilnost točke ob kvalitetni izvedbi stabilizacije, ki nam zagotavlja prisilno centriranje z natančnostjo boljšo od 0,1 milimetra [2].



Slika 6. Stabilizacija točke O2



Slika 7. Stabilizacija točke O1

Drugi dve točki osnovne mreže male hidroelektrarne Melje in sicer točki O3 in O4 sta talni točki. Točki O3 in O4 se obravnavata kot domnevno stabilni točki. Točki sta vgrajeni v betonsko podlago. Stabilizacija je realizirana s sidrom, ki je zavrtano v beton na globini 30 centimetrov. Na vrhu čepa se nahaja navoj, ki omogoča privitje nosilca za prizme (slika 8 in slika 9). Ta način nam omogoča natančnost prisilnega centriranja boljšo od 0.3 milimetrov. Na vsaki točki se nahaja tudi varovalni čep.

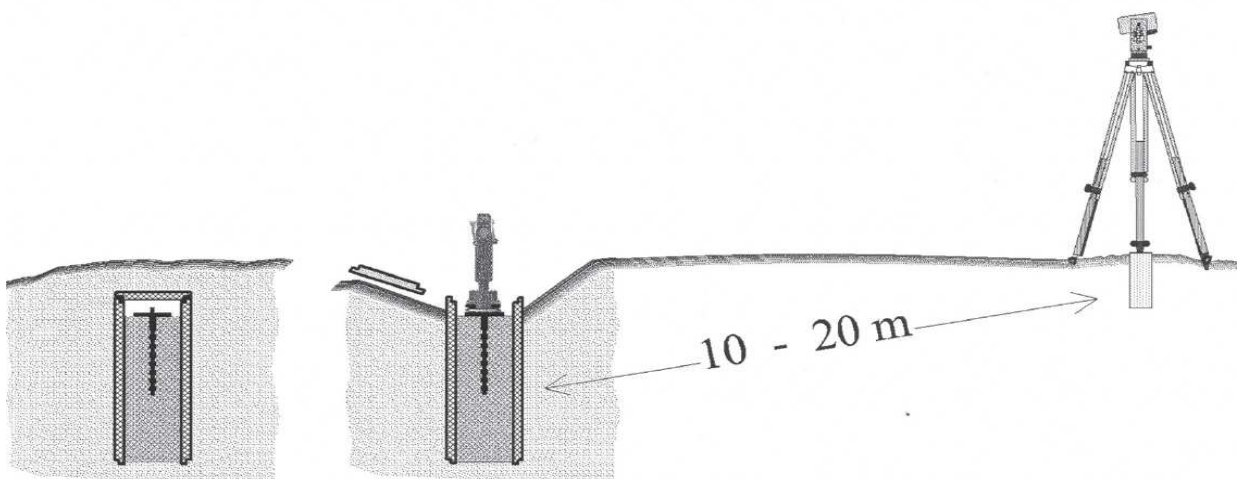


Slika 8. Stabilizacija točke O4



Slika 9. Stabilizacija točke O3

Dve pomožni točki (ekscentrični stojišči) S1 in S2, ki se nahajata v neposredni bližini talnih točk O3 in O4, nista trajno stabilizirani. Ekscentrično stojišče je začasno stabilizirano s kovinskim čepom v podlago. Oddaljenost ekscentra od centra točke je okrog 10 metrov (slika 10) [2].



Slika 10. Talna stabilizacija merske točke in ekscentrično stojišče (Vodopivec in Kogoj, 2005)

Signalizacijo dveh talnih točk osnovne mreže male hidroelektrarne Melje izvedemo s prisilnim centriranjem reflektorja (slika 11). Meritve so bile izvedene iz ekscentričnih stojišč.



Slika 11. Signalizacija talne točke O3

Dve točki osnovne mreže, O1 in O2, ki se nahajata na opazovalnih stebrih, sta signalizirani s pomočjo trinožnih podstavkov in preciznih reflektorjev GPH1P (slika 12).



Slika 12. Signalizacija točke O2

4 INSTRUMENTARIJ IN MERSKA OPREMA

Meritve so bile izvedene s preciznim elektronskim tahimetrom Leica Nova MultiStation MS50 (slika 13). Ta instrument je prvi na svetu, ki v eni napravi združuje vse sodobne merske tehnologije. Vsebuje vse funkcije zajema prostora, kot so 3D skeniranje, merjenje brez reflektorja do 2 kilometra, slikovna podpora in povezave z GNSS tehnologijo. Instrument omogoča zelo natančne meritve v terestričnih geodetskih mrežah in hkrati omogoča tudi lasersko skeniranje hitrosti do 1000 točk na sekundo do maksimalne razdalje 300 metrov.



Slika 13. Tahimeter Leica Nova MultiStation MS50 (<http://www.leica-geosystems.com>)

Tehnični podatki o instrumentu so prikazani v Tabeli 1.

Tabela 1. Tehnični podatki instrumenta Leica Nova MultiStation MS50 (Geoservis, 2015)

Merjenje koton	
Natančnost	1"
Merjenje razdalj	
Z reflektorjem (doseg/natančnost)	10000 m / 1 mm + 1.5 ppm
Brez reflektorja (doseg / natančnost)	2000 m / 2 mm + 2 ppm
Velikost pike laserskega žarka	8 mm × 20 mm na razdalji 50 m
Doseg ATR na okrogli reflektor GPR1	1000m, sledenje reflektorja: 800 m
Kotna natančnost in trajanje meritve ATR na GPR1	1" / običajno 2.5 s
Skeniranje	
Hitrost vrtenja s piezo motornimi pogoni	180° / s
Hitrost / največji doseg / šum	1000 Hz / 300 m / 1.0 mm na razdalji 50 m 250 Hz / 400 m / 0.8 mm na razdalji 50 m 62 Hz / 500 m / 0.6 mm na razdalji 50 m 1 Hz / 1000 m / 0.6 mm na razdalji 50 m
Vizualizacija	Vgrajen pregledovalnik 3D oblakov točk, tudi s foto-realističnim obarvanjem oblakov
Slikovna podpora	
Vgrajeni kamери (ločljivost / frekvenca osveževanje)	5 MP CMOS slikovni senzor / 20 Hz
Lastnosti	Samodejno fokusiranje, viziranje preko zaslona, digitalna skica na fotografiji
Splošno	
Operacijski sistem / nameščena programska oprema	Windows CE 6.0 / Leica SmartWorx Viva
Zaslon v obeh krožnih legah	8.9 cm, 640 x 480 slikovnih elementov (VGA), barvni LED zaslon na dotik, berljiv na soncu
Tipkovnica	36 osvetljenih tipk (12 funkcijskih in 12 alfanumeričnih tipk), pametna tipka za proženje meritev, 2 tipki za ročno nastavitev fokusiranja
Neskončni vjaki	2 vijaka za Hz pomik, 1 vijak za V pomik, vijak za ročno fokusiranje
Vgrajen pomnilnik / pomnilniški vmesniki	1 GB / SD kartica, USB ključ
Komunikacijski vmesniki	RS232, Bluetooth, WLAN
Baterija / avtonomija delovanja	Li-Ion 5.8 Ah / 7 – 9 ur (GEB242)
Temperaturno območje delovanja	- 20 °C do + 50 °C
Odpornost na prah in vodo (IEC 60529) / vlago	IP65 / 95%, brez kondenziranja

Pri signalizaciji točk smo uporabili precizne reflektorje tipa Wild GPH1P proizvajalca Leica Geosystems (slika 14). Adicijska konstanta teh reflektorjev znaša nič ($k_a = 0$) in je zato ni potrebno upoštevati pri obdelavi podatkov.



Slika 14. Leica Wild GPH1P

Merski instrument in reflektorje smo s pomočjo trinožnega podstavka privili na stative ali na opazovalne stebre (slika 15).

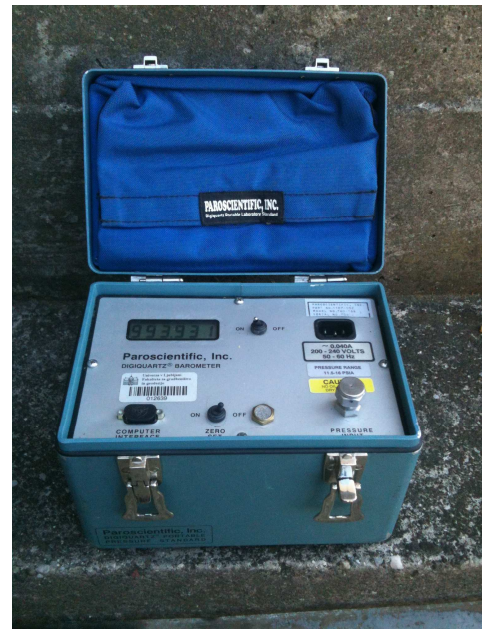


Slika 15. Trinožni podstavek in nastavek za reflektor

Poleg merske opreme za zajem prostorskih podatkov smo uporabili še instrumentarij za merjenje meteoroloških parametrov. Za merjenje mokre in suhe temperature smo uporabili aspiracijski psihrometer (slika 16), za merjenje zračnega tlaka pa digitalni barometer Paroscientific (slika 17). Meteorološke parametre smo odčitavali na vseh stojiščih instrumenta pred in po opravljenih meritvah.



Slika 16. Aspiracijski psihrometer



Slika 17. Paroscientific digitalni barometer

Na terenu smo uporabljali še žepni merski trak proizvajalca Leica za merjenje višine instrumenta ter posebne klešče za odpiranje varovalnega pokrova na talnih točkah (slika 18 in slika 19).



Slika 18. Klešče za varovalni čep



Slika 19. Merski trak Leica
(<http://images.tigersupplies.com>)

5 METODE IZMERE

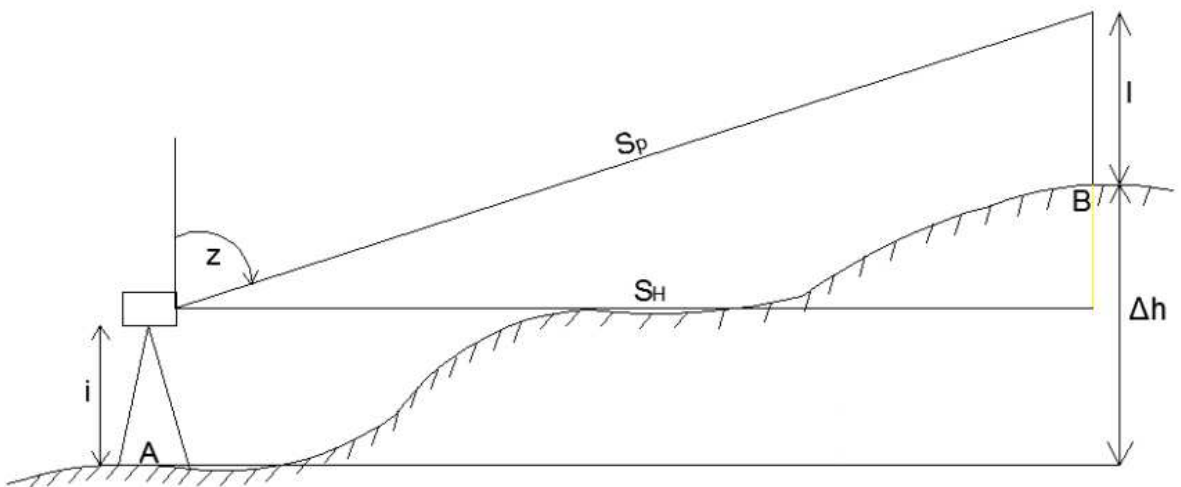
5.1 Klasične terestrične metode izmere

5.1.1 Kombinirana triangulacijsko - trilateracijska metoda izmere

Triangulacija je metoda določanja koordinat točk v horizontalnih mrežah na osnovi merjenih kotov. Trilateracija je metoda določanja koordinat na osnovi merjenja dolžin. S kombinacijo obeh metod pridobimo bolj čvrste in zanesljive merske povezave, ter pri izravnavi istočasno uporabimo vse merjene količine. S tem povečamo število nadštevilnih meritev in izboljšamo položajno natančnost neznank. Koordinate točk mikro mreže male hidroelektrarne Melje smo določili s kombinirano triangulacijsko – trilateracijsko metodo. Iz točk O₁ in O₂, ki se nahajata na betonskih stebrih in pomožnih točk (ekscentričnih stojišč) S₁ in S₂, ki se nahajata na stativih, smo opravljali obojestranske meritve. Na talni točki O₃ in O₄ ni mogoče meriti obojestransko, zato smo merili enostransko. Merili smo horizontalne smeri, zenitne razdalje in poševne dolžine.

5.1.2 Trigonometrično višinomerstvo

Z uporabo metode trigonometričnega višinomerstva smo določili tudi višine v mreži (slika 20). Ta metoda se večinoma uporablja pri mrežah manjših dimenzij. Višinske razlike se določa na osnovi merjenih zenitnih razdalj in reduciranih dolžin med točkami. Za vsako točko smo potrebovali tudi podatek o izmerjeni višini instrumenta. Za talni točki in pomožni točki na stativih je bila privzeta višina nič, kar pomeni, da so bile točke v višinskem smislu realizirane s centrom reflektorja. Na betonskih stebrih smo trikrat neodvisno z žepnim merskim trakom izmerili višino instrumenta in srednjo vrednost upoštevali pri izračunu višin točk na betonskih stebrih.



Slika 20. Trigonometrično višinomerstvo (Fröhlich, 2013)

- i – višina instrumenta
- l – višina signala
- z – zenitna razdalja
- S_p – merjena poševna dolžina
- S_H – horizontalna razdalja
- Δh – višinska razlika

5.2 Terestrično lasersko skeniranje

Sodobno, trenutno zelo trendovsko geodetsko metodo, lahko poenostavljeno pojasnimo na način kot je to zapisala Ana Hostnik: „Terestrično pomeni, da snemamo neposredno na terenu, lasersko pomeni, da za merjenje uporabljamo laserske žarke, skeniranje pa označuje hitro prečesavanje območja snemanja.“ [3]

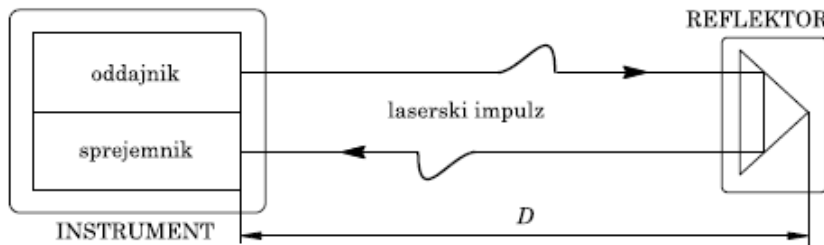
Terestrično lasersko skeniranje je geodetska metoda, s katero prikazujemo realni svet v virtualnem 3D prikazu. Laserski skenerji imajo visoko razvito tehnologijo, ki nam omogoča v nekaj sekundah ali minutah posneti več tisoč ali milijonov točk in na ta način pridobiti gost oblak točk, ki ga nato obdelamo v ustremnem programu.

Terestrično lasersko skeniranje v geodeziji uporabljamo za analizo deformacij grajenih in naravnih objektov, za namen spremljanja odkopov zemeljskih plazov, za detailno izmero, za namen evidentiranja sprememb površine, oblik in velikosti objektov ter pri izdelavi digitalnih modelov reliefsa. Terestrični laserski skener zagotavlja meritve horizontalnih in tudi vertikalnih smeri ter dolžine. Rezultat teh meritev je množica ali oblak točk v 3D prostoru.

Z uporabo laserskega skeniranja merimo koordinate točk v prostoru na način, da merimo smer in razdaljo od instrumenta do površine objekta, od katerega se je laserski žarek odbil. To razdaljo izmerimo na osnovi izmerjenega časa, v katerem elektromagnetno valovanje prepotuje pot od oddajne optike proti reflektorju, od katerega se odbije nazaj proti instrumentu. To pomeni, da elektromagnetno valovanje prepotuje dvakrat enako dolžino [4].

Poznamo tri načine merjenja dolžin z uporabo laserskega skenerja in sicer impulzni, fazni in triangulacijski.

Laserski skenerji z impulznim načinom merjenja neposredno merijo čas potovanja impulza od oddajne točke do sprejemne točke s tem, da se žarek vmes odbije na površini objekta. Čas širjenja impulza predstavlja razdaljo med oddajnikom in sprejemnikom (slika 21).



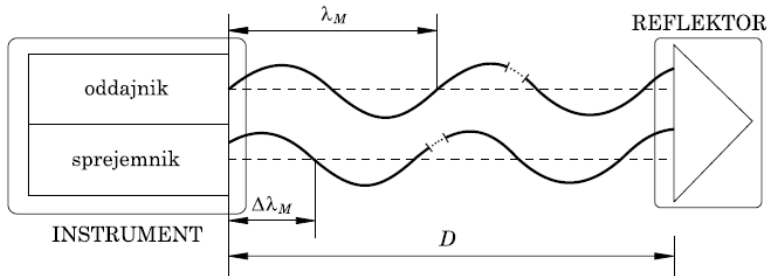
Slika 21. Impulzni način merjenja - osnovni princip (Kogoj, 2005)

Za izračun razdalje je potrebno poznati svetlobno hitrost ($c = 299\ 792\ 458\ \text{m/s}$), lomni količnik (n) in merjeni čas (τ). Lomni količnik atmosfere, skozi katero potuje signal, v normalnih pogojih v zraku znaša približno 1 (ena). Razdalja se izračuna s pomočjo naslednje formule:

$$D = \frac{c \cdot \tau}{n \cdot 2}. \quad (1)$$

Ta način je najprimernejši za daljše razdalje (od 50 do 500 metrov) in dosega slabše natančnosti kot skenerji s faznim načinom merjenja [4].

Fazni način merjenja razložimo na način, da laserski žarek, ki ga oddaja instrument, obravnavamo kot sinusno valovanje s spremenljivo amplitudo ali frekvenco (slika 22). Razdaljo pri skenerjih s faznim načinom merjenja računamo s primerjavo originalnega oddanega signala z odbitim signalom, ki z odbojem od tarče oslabi.



Slika 22. Fazni način merjenja dolžin (Kogoj, 2005)

Za izračun razdalje je potrebno poznati fazno razliko med merskim in referenčnim žarkom ($\Delta\varphi$), valovno dolžino moduliranega valovanja (λ_M) in število polovičnih valovnih dolžin na merjeni poti (N). Razdaljo računamo na način, da najprej izračunamo fazno razliko med obema signaloma:

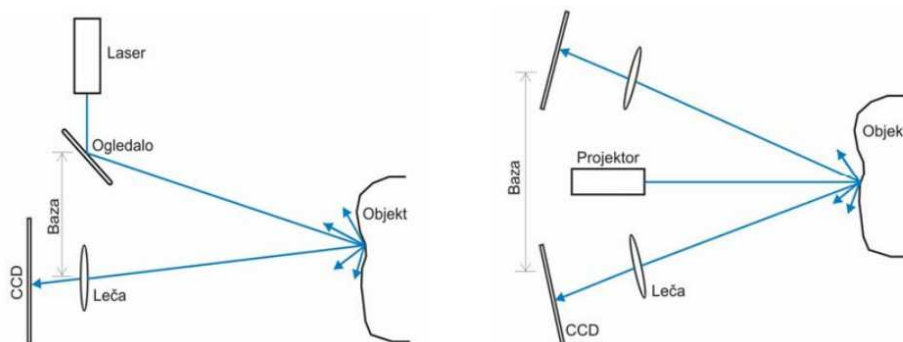
$$\Delta\lambda_M = \lambda_M \cdot \left(\frac{\Delta\varphi}{2 \cdot \pi} \right). \quad (2)$$

Ko izračunamo fazno razliko med obema signaloma, moramo izračunati še dolžino med oddajno točko in točko sprejema iz izračunanega dela modulacijske valovne dolžine, določenega na osnovi merjenja fazne razlike med merskim in referenčnim žarkom:

$$D = \left(N \cdot \frac{\lambda_M}{2} \right) + \left(\frac{\Delta\lambda_M}{2} \right). \quad (3)$$

Skenerji s faznim načinom merjenja so bolj natančni kot laserski skenerji z impulznim načinom merjenja. Njihova natančnost je do 3 milimetre ter se uporablajo pri krajših razdaljah do 100 metrov [4].

Triangulacijska metoda deluje na način, da se izračuna razdalja od oddajne točke do točke sprejema na podlagi znane dolžine baze med CCD kamero in laserskim oddajnikom ter na podlagi kotov (slika 23).



Slika 23. Triangulacijska metoda z eno in dvama kamerama (Kolenc, 2004)

Laserski žarek se projicira na površino objekta pod določenim kotom, drugi kot zazna kamera glede na lokacijo padajoče laserske pike na vidno polje kamere. „Skener se imenuje triangulacijski, zato ker laserski oddajnik, točka na predmetu in kamera tvorijo trikotnik“ [5]. Pri uporabi triangulacijske metode poznamo dolžino med laserskim izvorom in kamero (projekcijskim centrom) iz

kalibracijskega poročila skenerja ter kot, ki ga oklepata laserski žarek iz oddajne točke in kamera (baza).



Slika 24. Laserski skener s pritrjenim digitalnim fotoaparatom (Hostnik, 2013)

Triangulacijska metoda merjenja se uporablja večinoma v industriji. Primerna je za majhne objekte, ki so na majhnih razdaljah do 2 metra, ker takrat dosežemo najboljšo natančnost, ki naj bi bila 0,1 milimeter na 1 meter [6, 7].

Zdaj ko so opisane različne metode merjenja z laserskim skenerjem, je potrebno opisati še postopek terestričnega laserskega skeniranja, ki sestoji iz naslednjih faz:

- Terenske meritve – na vsakem stojišču pridobimo oblak točk (skenogram) v koordinatnem sistemu skenerja,
- Združitev skenogramov v skupni (objektni) koordinatni sistem za vse oblake točk,
- Obdelava oblaka točk – tako združene oblake točk z luhkoto obdelujemo v enem od številnih programov za obdelavo. Programi vsebujejo opcije filtriranja, triangulacije, izdelave digitalnih modelov reliefa in ostale. Končni rezultat obdelave podatkov je 3D model skeniranega objekta.

Pomembno je omeniti, da so vse faze terestričnega laserskega skeniranja enako pomembne.

Terestrično lasersko skeniranje ima nekatere prednosti pred klasično geodetsko izmero. Pri uporabi terestričnega laserskega skeniranja ni potrebno priti v neposredni stik s točko ali objektom snemanja. Predvsem je zelo uporabno na neurejenih terenih ali na terenih z oteženim ali onemogočenim dostopom. Z enim skeniranjem območja skener posname v kratkem času zelo gosto mrežo točk s 3D koordinatami. Za obdelavo podatkov je na voljo množica programskih orodij, nekateri so tudi prosti dostopni na internetu. Obdelava podatkov se opravi na interaktivnem način. Čas obdelave je močno odvisen od zahtev in natančnosti naročnika, kakor tudi od zahtevnosti in detajlov snemanega objekta. Glede na množico prostorskih podatkov je pridobljena natančnost ustreznna, ni pa primerljiva z najnatančnejšimi geodetskimi metodami določanja 3D koordinat točk. Kot rezultat pridobimo podroben prikaz našega posnetega območja oz. objekta.

6 MERITVE IN OBDELAVA MERITEV

Terestrične meritve mikro mreže Melje smo izvajali s pomočjo elektronskega tahimetra Leica Nova MultiStation MS50 v sedmih neodvisnih ponovitvah (girusih). Meritve smo izvedli obojestransko med opazovalnimi stebri in enostransko na talni točki (O3 in O4). Pred meritvami smo vnesli število smeri, ki smo jih opazovali ter število girusov, ki smo jih opravljali. Vnesli smo tudi ime stojišča. Na obeh opazovalnih stebrih je bilo potrebno izmeriti tudi višino instrumenta. Uporabljali smo instrument z avtomatskim iskanjem in viziranjem tarč tako, da je bilo potrebno imenovati in ročno fino vizirati smeri samo v prvem polgirusu. Na vsakem stojišču smo med meritvami trikrat neodvisno izmerili meteorološke popravke in sicer suho temperaturo, mokro temperaturo in zračni tlak.



Slika 25. Postopek ročnega finega viziranja v prvem polgirusu s stojišča S1



Slika 26. Izvajanje meritve na stojišču S1
dne 21. 04. 2015.

Po opravljenih terenskih meritvah smo iz instrumenta prenesli surove podatke. Preneseni podatki niso uporabni v takšni obliki ter jih je potrebno še obdelati (Priloga A). Meritve smo v primernejšo obliko uredili v programskem okolju LisCad za vsako stojišče posebej. Kot izhodno datoteko smo pridobili reducirane sredine sedmih merjenih girusov, in sicer sredine horizontalnih smeri, zenithnih razdalj ter poševnih dolžin (Priloga B).

Merjene poševne dolžine smo reducirali za meteorološke, geometrične ter projekcijske popravke. Tako smo dobili horizontalne dolžine na poljubni referenčni ploskvi, ki so vhodni podatek za izravnavo.

6.1 Meteorološki popravki

V času meritve smo na posameznem stojišču merili meteorološke parametre in sicer suho in mokro temperaturo ter zračni tlak. Za izračun meteoroloških vplivov smo uporabili aritmetične sredine izračunanih količin na terenu. Glede na to, da smo izvedli dve neodvisni terminski izmeri, sta v nadaljevanju prikazani dve tabeli o meteoroloških parametrih (tabela 2 in tabela 3).

Tabela 2. Podatki o aritmetičnih sredinah meteoroloških parametrov v prvi terminski izmeri 21.04.2015.

Stojošče	Suha temperatura [°C]	Mokra temperatura [°C]	Zračni tlak [mbar]
S1	13,00	10,00	994,280
S2	12,60	8,70	994,260
O1	16,30	10,70	993,680
O2	16,30	10,00	993,370

Tabela 3. Podatki o aritmetičnih sredinah meteoroloških parametrov v drugi terminski izmeri 10.07.2015.

Stojošče	Suha temperatura [°C]	Mokra temperatura [°C]	Zračni tlak [mbar]
S1	18,65	14,90	993,797
S2	19,07	14,20	993,750
O1	21,00	14,90	992,803
O2	22,50	15,45	992,385

Meteorološke vplive upoštevamo pri izračunu prvega popravka hitrosti, ker je zaradi njih merjena dolžina drugačna od dejanske dolžine med instrumentom in tarčo. Za izračun prvega popravka hitrosti je potrebno izračunati nominalni lomni količnik n_0 :

$$n_0 = 1 + \frac{n_g - 1}{1 + \alpha \cdot t_0} \cdot \frac{p}{1013,25} - \frac{4,125 \cdot 10^{-8}}{1 + \alpha \cdot t_0} \cdot e_0. \quad (4)$$

Pri izračunu nominalnega lomnega količnika za instrument Leica Nova MS50 uporabimo referenčne podatke iz Tabele 4.

Tabela 4. Referenčni podatki za tahimeter Leica Nova MS50 (Geoservis, 2015.)

λ_{Neff}	t_0	p_0	e_0
0,658 μm	12 °C	1013,25 hPa	60 %

Grupni količnik smo izračunali glede na efektivno valovno dolžino λ_{Neff} :

$$(n_g - 1) \cdot 10^6 = A + 3 \cdot \frac{B}{\lambda_{Neff}^2} + 5 \cdot \frac{C}{\lambda_{Neff}^4}. \quad (5)$$

Količine A, B in C so empirično določene konstante, ki veljajo za atmosfero z normalnimi pogoji ($t = 0$ °C, $p = 1013,25$ hPa, $e = 0$ hPa). Njihova vrednost je prikazana v Tabeli 5.

Tabela 5. Empirično določene konstante za izračun grupnega lomnega količnika

Avtor	Območje	A	B	C
IAG (1999)	$650nm \leq \lambda_{Neff} \leq 850nm$	287,6155	1,62887	0,01360

Ker se dejanski meteorološki parametri razlikujejo od referenčnih, je potrebno izračunati dejanski lomni količnik.

$$n_D = 1 + \frac{n_g - 1}{1 + \alpha \cdot t} \cdot \frac{p}{1013,25} - \frac{4,125 \cdot 10^{-8}}{1 + \alpha \cdot t} \cdot e. \quad (6)$$

Prvi popravek hitrosti dobimo po enačbi:

$$D_1 = D_a \cdot \frac{n_0}{n_D}. \quad (7)$$

n_0 – nominalni lomni količnik

n_D – dejanski lomni količnik

D_a – dolžina popravljena za vpliv pogreška določitve ničelne točke razdaljemera in reflektorja

Za izračun drugega popravka hitrosti moramo prav tako upoštevati meteorološke parametre. Zaradi kratke dolžine (pri dolžinah daljših od 65 kilometerov popravek znaša 1 ppm) je vpliv na dolžino zanemarljiv. Enačba za izračun drugega popravka hitrosti:

$$D_2 = D_1 + k_{\Delta n} . \quad (8)$$

D_1 – prvi popravek hitrosti in

$$\Delta_{kn} = -(k - k^2) \cdot \frac{D_1^3}{12 \cdot R^2} . \quad (9)$$

6.2 Geometrični popravki

Poleg meteoroloških popravkov je bilo potrebno upoštevati tudi geometrične popravke. Izmerjena dolžina je zaradi refrakcije prostorska krivulja in zato moramo izračunati njeno tetivo. Enačba za izračun tetine prostorske krivulje:

$$S_r = D_2 - k^2 \cdot \frac{D_2^3}{24 \cdot R^2} , \text{ kjer je} \quad (10)$$

D_2 – drugi popravek hitrosti

k – koeficient refrakcije ($k = 0,13$)

R – radij Zemlje ($R = 6\,370\,000$ m).

Po izračunani teticivi prostorske krivulje je bilo potrebno upoštevati še višino instrumenta ter višine reflektorjev na vsaki točki. Uporabili smo naslednje enačbe:

$$S_p = S_r - (l - i) \cdot \cos(z_r) + \frac{[(i - l) \cdot \sin(z_r)]^2}{2 \cdot S_r} , \text{ kjer je} \quad (11)$$

S_r – tetriciva prostorske krivulje

i – višina instrumenta

l – višina tarče.

Popravek merjene zenitne razdalje z' zaradi refrekcijske znaša:

$$z_r = z' + \frac{S_r}{2 \cdot R} \cdot k , \text{ kjer je } z' \text{ – merjena zenitna razdalja.} \quad (12)$$

Vrednost dolžine na nivoju točk, to je kamen – kamen, znaša:

$$S_k = S_p - \frac{i \cdot S_p}{R} . \quad (13)$$

6.3 Projekcijski popravki

Z upoštevanjem geometričnih popravkov smo pridobili dolžino na nivoju kamen – kamen (S_k). Pri projekcijskih popravkih to dolžino reduciramo na izbrano referenčno ploskev, da pridobimo sferno dolžino loka S s pomočjo naslednje enačbe:

$$S = (R + H_0) \cdot a \tan \left(\frac{S_r \cdot \sin(z_r)}{R + H_A + i + S_r \cdot \cos(z_r)} \right). \quad (14)$$

H_0 predstavlja višino računskega nivoja, ki v našem primeru znaša 10 metrov, kar je višina talne stabilne točke O3 v lokalnem koordinatnem sistemu.

6.4 Skenogrami in natančnost skeniranja točk

Za skeniranje smo uporabili instrument Leica Nova MultiStation MS50, ki omogoča direktno pridobitev georeferenciranega oblaka točk. Pred skeniranjem je bilo potrebno v instrument vnesti izmerjene meteorološke parametre, in sicer suho in mokro temperaturo ter zračni tlak. Določiti je bilo potrebno območje skeniranja. Da bi zajeli vse točke, ki se nahajajo na prelivni steni, smo za območje skeniranja vzeli nekaj metrov večje območje okrog prelivne stene (slika 27). Prelivno steno smo v obeh terminskih izmerah skenirali iz stojišč S2, O1 in O2.

Gostoto točk smo nastavili na 3 x 3 centimetre in izbrali hitrost skeniranja 1000 točk na sekundo.



Slika 27. Prikaz izbranega območja skeniranja s stojišča S2 v prvi terminski izmeri dne 21. 04. 2015.

Glede na nastavljeno hitrost skeniranja ter gostoto točk smo pridobili naslednje podatke (tabela 6 in tabela 7).

Tabela 6. Pridobljene velikosti oblakov točk in čas zajema v prvi terminski izmeri dne 21. 04. 2015.

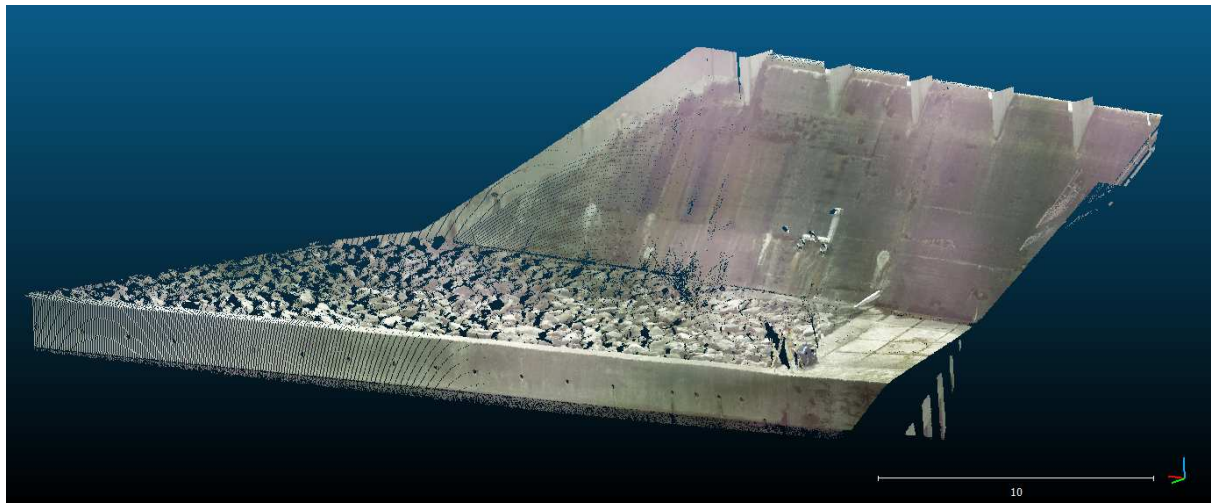
Skeniranje iz stojišča	Število zajetih točk	Potreben čas zajema
O1	590 812	~ 10 minut
O2	243 647	~ 5 minut
S2	125 737	~ 10 minut
	$\Sigma = 960\ 196$	$\Sigma = \sim 25\ \text{minut}$

Tabela 7. Pridobljene velikosti oblakov točk in čas zajema v drugi terminski izmeri dne 10. 07. 2015.

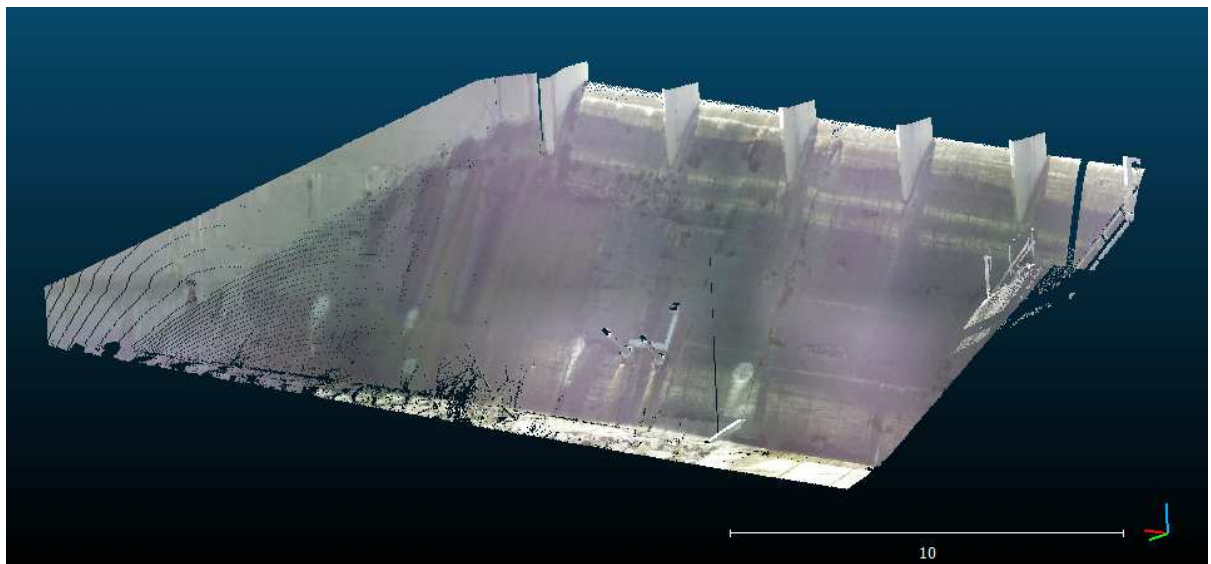
Skeniranje iz stojišča	Število zajetih točk	Potreben čas zajema
O1	358 328	~ 6 minut
O2	243 328	~ 5 minut
S2	135 605	~ 10 minut
	$\Sigma = 737\ 261$	$\Sigma = \sim 21\ \text{minuta}$

Iz tabel je razvidno, da se velikosti oblakov točk in hitrost zajema med terminskima izmerama razlikujeta. Razlog je v različni velikosti izbranega območja skeniranja okrog prelivne stene hidroelektrarne Melje.

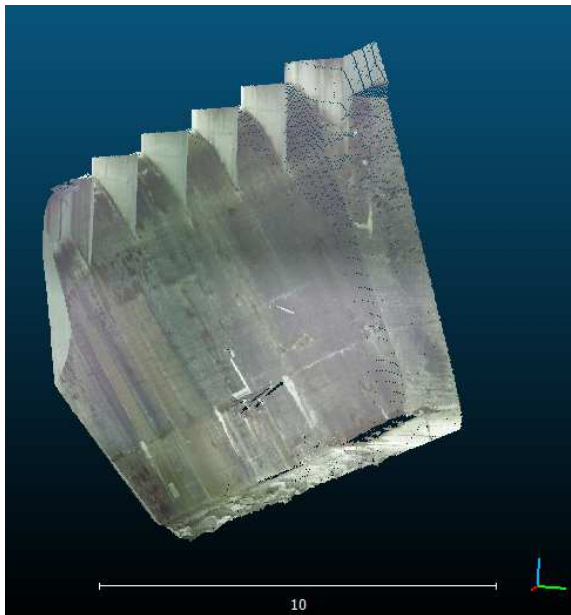
Skenograme iz vseh treh stojišč je bilo potrebno vklopiti v projektni koordinatni sistem. Za orientacijo skenogramov smo izmerili 5 girusov proti ostalim točкам mreže ter izravnane koordinate mikro mreže Melje, ki jih smo jih prikazali v naslednjem poglavju. V nadaljevanju so prikazani skenogrami iz posameznih stojiš.



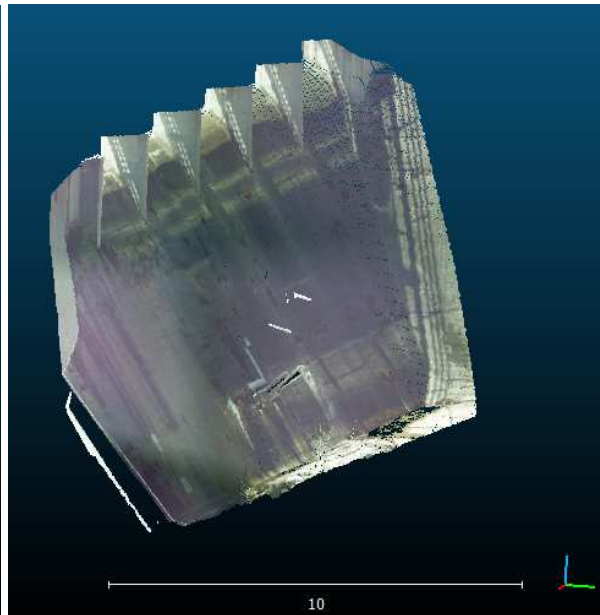
Slika 28. Skenogram iz stojišča O1 zajet v prvi terminski izmeri dne 21. 04. 2015.



Slika 29. Skenogram iz stojišča O1 zajet v drugi terminski izmeri dne 10. 07. 2015.



Slika 30. Skenogram iz stojišča O2 zajet v prvi terminski izmeri dne 21. 04. 2015.



Slika 31. Skenogram iz stojišča O2 zajet v drugi terminski izmeri dne 10. 07. 2015.



Slika 32. Skenogram iz stojišča S2 zajet v prvi terminski izmeri dne 21. 04. 2015.



Slika 33. Skenogram iz stojišča S2 zajet v drugi terminski izmeri dne 10. 07. 2015.

Iz zgornjih slik je razvidno, da smo s skenogrami iz točk O1 in O2, oziroma iz stojišč, ki sta v neposredni bližini prelivne stene uspešno zajeli vse točke (slika 28, slika 29, slika 30 in slika 31).

Do problema je prišlo pri skenirjanju s stojišča S2 (slika 32 in slika 33). Zaradi večje razdalje med stojiščem in prelivno steno se veliko točk zaradi nezadostnega odboja ni posnelo. Na delih stene, ki so pod pravim kotom glede na instrument, je prišlo do pravilnih odbojev, medtem ko smo od prelivne

stene, ki je nagnjena, dobili ustrezni odboj le na nekaj točkah. Glede na oddaljenost stojišča od tarče (130 metrov) in na izbrano hitrost skeniranja (1000 hertzov) lahko trdim, da so te napake v odboju nepričakovane. Proizvajalec Leica Geosystems sicer zagotavlja zadosten odboj pri oddaljenostih do 300 metrov od stojišča v optimalnih pogojih skeniranja.



Slika 34. Združeni skenogrami iz stojišč O1, O2 in S2 v prvi terminski izmeri dne 21. 04. 2015.



Slika 35. Združeni skenogrami iz stojišč O1, O2 in S2 v drugi terminski izmeri dne 10. 07. 2015.

Natančnost skeniranja nam podaja proizvajalec Leica Geosystems (Tabela 8).

Tabela 8. Tehnični podatki o skeniraju instrumenta Leica Nova MultiStation MS50 (Geoservis, 2015)

Skeniranje	
Hitrost vrtenja s piezo motornimi pogoni	180° / s
Hitrost / največji doseg / šum	1000 Hz / 300 m / 1.0 mm na razdalji 50 m 250 Hz / 400 m / 0.8 mm na razdalji 50 m 62 Hz / 500 m / 0.6 mm na razdalji 50 m 1 Hz / 1000 m / 0.6 mm na razdalji 50 m
Vizualizacija	Vgrajen pregledovalnik 3D oblakov točk, tudi s foto-realističnim obarvanjem oblakov

Glede na izbrano hitrost skeniranja in maksimalno oddaljenost skenerja od prelivne stene, ki znaša 130 metrov, je pričakovana natančnost skeniranja med 2 in 3 milimetre. Iz tabele 8 je razvidno, da z zmanjšanjem hitrosti skeniranja, lahko nekoliko povečamo natančnost skeniranja.

7 IZRAVNAVA GEODETSKE MREŽE

Za določitev stožčnih in orientacijskih točk za skeniranje, je potrebno izračunati najverjetnejše koordinate točk terestrične mikro mreže Melje s pomočjo posredne izravnave meritev. V izravnavi uporabimo koordinate danih točk (tabela 9), približne koordinate novih točk (tabela 10) ter izračunane sredine girusov in reducirane dolžine (tabela 11 in tabela 12). Izbran je bil lokalni koordinatni sistem, kjer smer osi X horizontalnega koordinatenega sistema predstavlja smer najverjetnejših pričakovanih premikov kontrolnih točk, ki je definirana s smerjo O3 - S2. V višinskem smislu izhodišče predstavlja talna točka O3 [1].

Tabela 9. Koordinate danih točk

Točka	Y [m]	X [m]	h [m]
O3	70,0081	238,1196	10,0000
O4	111,2209	246,7633	9,9650

Tabela 10. Približne koordinate novih točk

Točka	Y [m]	X [m]	h [m]
S2	99,9624	244,5430	11,62372
S1	76,4370	239,8970	11,49228
O1	88,8120	131,0780	17,16487
O2	146,8820	112,7820	18,66792

Tabela 11. Sredine horizontalnih smeri, zenitnih razdalj in reducirane dolžine meritev, ki smo izvajali dne 21.04.2015.

OD	DO	Horizontalna smer [$^{\circ} \text{ ' } '$]	Zenitna razdalja [$^{\circ} \text{ ' } '$]	Reducirana dolžina [m]
S1	O2	0 00 00,00	87 08 10,97	145,3302
S1	O1	22 30 22,42	86 58 53,41	109,5188
S1	O3	103 41 28,34	103 40 19,73	6,6748
S1	S2	287 49 12,36	90 19 02,92	23,9797
S1	O4	287 47 37,49	92 40 48,38	35,4490
S2	O2	0 00 00,00	86 58 14,31	139,8668
S2	O1	25 12 46,68	87 02 02,56	114,0103
S2	O3	97 31 44,95	92 47 17,57	30,6408
S2	O4	278 20 51,47	97 34 43,51	11,4699
S2	S1	98 25 41,54	89 41 08,00	23,9797
O1	O3	0 00 00,00	93 53 55,43	108,6955
O1	S1	3 28 43,69	93 01 24,14	109,5186
O1	S2	15 34 45,06	92 58 14,22	114,0102
O1	O4	20 55 23,82	93 36 48,84	117,8502
O1	O2	117 27 25,67	88 35 39,78	60,8846
O2	O3	0 00 00,00	93 27 58,08	147,0520
O2	S1	2 31 38,68	92 52 07,92	145,3297
O2	S2	11 55 16,16	93 02 04,42	139,8664
O2	O4	16 36 55,75	93 41 19,70	138,6667
O2	O1	319 00 42,26	91 24 35,64	60,8844

Tabela 12. Sredine horizontalnih smeri, zenitnih razdalj in reduciranih dolžin meritev, ki smo jih izvajali dne 10.07.2015.

OD	DO	Horizontalna smer [° ′ ″]	Zenitna razdalja [° ′ ″]	Reducirana dolžina [m]
S1	O2	0 00 00,00	87 03 48,75	145,3373
S1	O1	22 30 28,96	86 53 17,21	109,5426
S1	O3	103 31 37,49	102 10 26,96	6,7123
S1	S2	287 50 59,92	89 43 51,73	23,9152
S1	O4	287 48 40,60	92 23 51,68	35,4433
S2	O2	0 00 00,00	86 59 41,77	139,8708
S2	O1	25 12 36,87	87 03 57,24	114,0038
S2	O3	97 32 18,82	92 55 03,63	30,6121
S2	O4	278 21 59,20	97 53 38,72	11,4986
S2	S1	98 29 12,10	90 16 03,93	23,9150
O1	O3	0 00 00,00	93 53 47,38	108,6969
O1	S1	3 29 49,18	93 06 42,40	109,5425
O1	S2	15 33 54,79	92 56 02,08	114,0039
O1	O4	20 55 25,49	93 36 40,24	117,8508
O1	O2	117 27 20,51	88 35 19,49	60,8836
O2	O3	0 00 00,00	93 27 53,29	147,0518
O2	S1	2 32 37,31	92 56 11,37	145,3371
O2	S2	11 54 35,24	93 00 18,98	139,8709
O2	O4	16 36 56,65	93 41 16,74	138,6651
O2	O1	319 00 36,95	91 24 40,90	60,8836

7.1 Horizontalna izravnava

Za določitev definitivnih horizontalnih koordinat točk mikro mreže smo uporabili izravnavo po metodi najmanjših kvadratov. Uporabili smo program RamWin (avtorji: T.Ambrožič, G.Turk), ki je prostost dostopen za uporabo.

Vhodna datoteka za program RamWin ima končnico *.pod. Datoteka vsebuje koordinate danih točk, približne koordinate novih točk, opazovanja (horizontalne smeri, reducirane dolžine), podatke o natančnosti opazovanih smeri in dolžin, razdelbo kroga ter natančnost izpisa rezultatov (Priloga C).

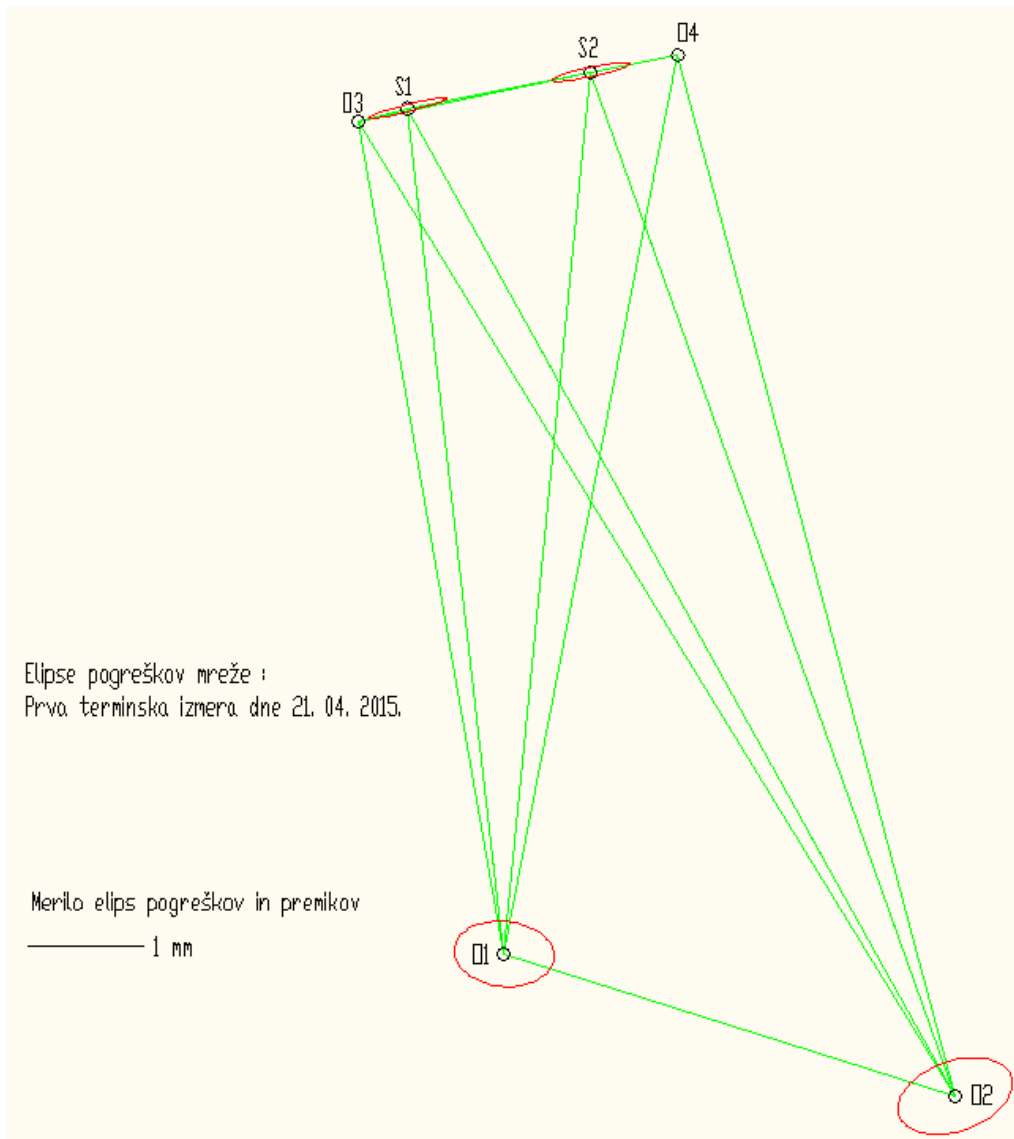
Rezultati izravnave so definitivne koordinate novih točk, ocena natančnosti določitve položaja novih točk – natančnost v smeri koordinatnih osi in elipse pogreškov, ter ocena natančnosti meritev (Priloga D).

Dve stabilni točki O3 in O4 določata geodetski datum v terestrični mikro mreži Melje. Natančnost koordinat novih točk je odvisna od natančnosti opazovanj, oblike mreže in vrste opazovanj.

V nadaljevanju podajamo rezultate izravnav dveh terminskih izmer (tabela 13 in tabela 14) ter grafično prikažemo doseženo natančnost s pomočjo standardnih elips pogreškov (slika 36 in slika 37). Za prikaz standardnih elips pogreškov smo uporabili program DemoGem, ki je dostopen za uporabo le na Fakulteti za gradbeništvo in geodezijo (avtorji: T.Ambrožič, G.Turk, Z.Jamšek).

Tabela 13. Izravnane horizontalne koordinate iz meritev 21. 04. 2015.

Točka	Y [m]	X [m]	My [m]	Mx [m]	Mp [m]	a [m]	b [m]	Θ [°]
S2	99,9711	244,5257	0,0003	0,0001	0,0003	0,0003	0,0000	78
S1	76,4465	239,8808	0,0003	0,0001	0,0003	0,0003	0,0000	76
O1	88,8135	131,0627	0,0004	0,0003	0,0005	0,0004	0,0003	96
O2	146,8817	112,7603	0,0005	0,0003	0,0006	0,0005	0,0003	71

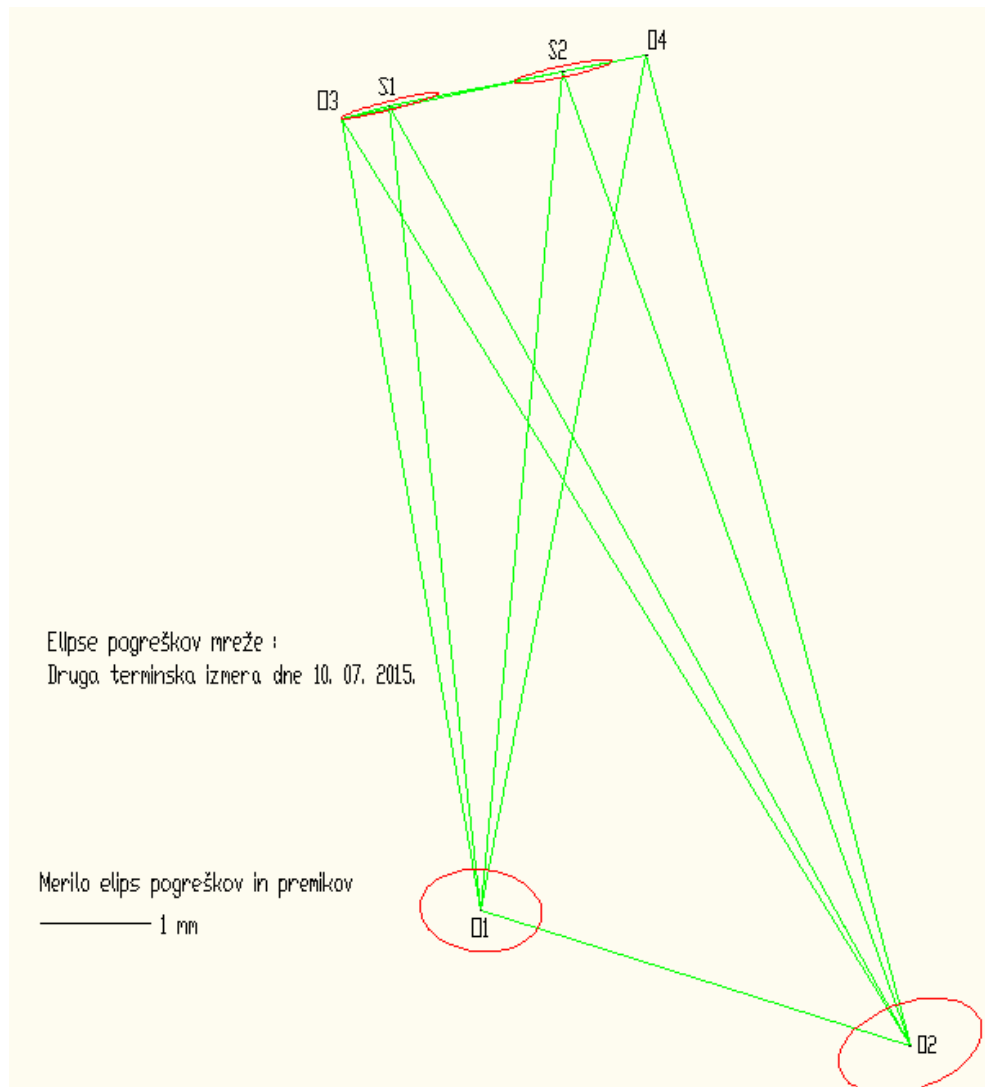


Slika 36. Prikaz geodetske mreže in standardnih elips pogreškov prve terminske izmera dne 21. 04. 2015

Iz pridobljenih parametrov absolutnih elips pogreškov na osnovi meritev, ki smo jih opravljali 21. 04. 2015, lahko sklepamo, da je natančnost koordinat geodetske mreže pričakovano visoka. Tako visoko natančnost smo pridobili zaradi ustrezne izbire instrumentarija in merske opreme ter načina opravljanja meritev. Merili smo v 7 girusih v obeh krožnih legah obojestransko med točkami S1, S2, O1 in O2 ter enostransko na talni točki O3 in O4.

Tabela 14. Izravnane horizontalne koordinate iz meritev 10. 07. 2015.

Točka	Y [m]	X [m]	My [m]	Mx [m]	Mp [m]	a [m]	b [m]	Θ [°]
S2	99,9427	244,5212	0,0004	0,0001	0,0005	0,0004	0,0001	78
S1	76,4782	239,9075	0,0004	0,0001	0,0005	0,0004	0,0000	76
O1	88,8162	131,0617	0,0006	0,0004	0,0007	0,0006	0,0004	96
O2	146,8843	112,7626	0,0006	0,0004	0,0008	0,0007	0,0004	71



Slika 37. Prikaz geodetske mreže in standardnih elips pogreškov druge terminske izmere dne 10. 07. 2015

Iz pridobljenih parametrov absolutnih elips pogreškov na osnovi meritev, ki smo jih opravljali 10. 07. 2015, lahko sklepamo, da je natančnost koordinat geodetske mreže, ne glede na to, da je nekoliko slabša kot v prvi izmeri, pričakovano visoka. Tako visoko natančnost smo pridobili zaradi ustrezone izbire instrumentarija in merske opreme ter načina opravljanja meritev. Merili smo v 7 girusih v obeh krožnih legah na enak način kot v prvi izmeri. Na slabšo natančnost meritev so vplivale nekoliko slabše atmosferske razmere.

Na osnovi prve terminske izmere dne 21. 04. 2015 smo definirali geodetski datum horizontalne in višinske mreže ter določili najverjetnejše koordinate točk v mikro mreži Melje. Na osnovi druge terminske izmere dne 10. 07. 2015 smo ob uporabi identičnega geodetskega datuma ugotavljali stabilnost referenčnih točk in določili projektni koordinatni sistem skenogramov.

7.2 Višinska izravnava

Pri višinski izravnavi smo uporabili program VimWin in vhodno datoteko s končnico *.pod (Priloga E). Datoteka vsebuje podatke o številu izpisa decimalnih mest, seznamu višin danih reperjev ter približnih višin novih reperjev, utežni enoti ter seznamu opazovanj (višinska razlika in poševna razdalja). Rezultati izravnave so definitivne višine novih točk, popravek višine ter srednji pogrešek višine (Priloga D).

Višinske razlike smo računali po enačbi:

$$\Delta h_a^b = S_k \cdot \cos(z_{k_a}^b) + \frac{S_k^2}{2 \cdot R} \cdot (1 - k) \cdot \sin(z_{k_a}^b), \text{ kjer je} \quad (19)$$

S_k – vrednost dolžine na nivoju točk (kamen - kamen)

R – radij Zemlje ($R = 6\,370\,000$ m)

k – koeficient refrakcije ($k = 0,13$)

$z_{k_a}^b$ - merjena zenitna razdalja s točke a na točko b .

Tabela 15. Izravnane višine točk prve termske izmere dne 21. 04. 2015.

Reper	Približna višina [m]	Popravek višine [m]	Definitivna višina [m]	Srednji pogrešek višine [m]
O1	17,1604	0,00188	17,16228	0,00050
O2	18,6601	0,00090	18,66100	0,00053
S1	11,5150	-0,06719	11,44781	0,00022
S2	11,4960	0,06363	11,55963	0,00026

Tabela 16. Izravnane višine točk druge termske izmere dne 10. 07. 2015.

Reper	Približna višina [m]	Popravek višine [m]	Definitivna višina [m]	Srednji pogrešek višine [m]
O1	17,16228	-0,00033	17,16195	0,00037
O2	18,66100	-0,00045	18,66055	0,00040
S1	11,44781	0,00004	11,44785	0,00019
S2	11,55963	0,00004	11,55967	0,00022

Iz pridobljenih rezultatov, prikazanih v tabelah (tabela 15 in tabela 16) sklepamo, da je natančnost višinske geodetske mreže pričakovano visoka. Tako visoko natančnost smo pridobili zaradi ustrezone izbire instrumentarija in merske opreme ter načina opravljanja meritev. Merili smo v 7 girusih v obeh krožnih legah obojestransko med točkami S1, S2, O1 in O2 ter enostransko na talni točki O3 in O4.

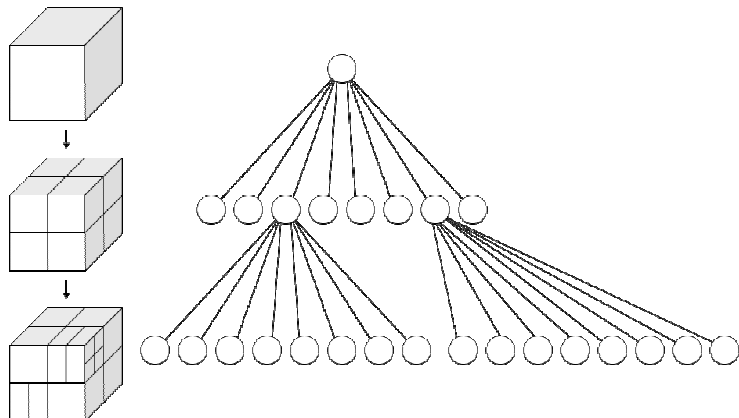
8 IZRAČUN DEFORMACIJ PRELIVNE STENE MHE MELJE

Za skeniranje smo uporabili instrument Leica Nova MultiStation MS50, ki omogoča direktno pridobitev georeferenciranega oblaka točk. Skenograme iz vseh treh stojišč smo vklopili v projektni koordinatni sistem oziroma na izravnano mikro mrežo male hidroelektrarne Melje v posamezni terminski izmeri. Instrument smo prisilno centrirali na točke mreže. Za orientacijo smo izmerili 5 girusov proti ostalim točкам mreže.

Pri izračunu deformacij prelivne stene smo uporabljali dva podobna odprto kodna programa, in sicer MeshLab in Cloud Compare.

MeshLab je računalniški program za obdelavo oblakov točk, ki uporabniku pomaga pri čiščenju, filtrirjanju, popravljanju in pridobitvi nestrukturiranih 3D trikotniških mrež. Orodje se večinoma uporablja za osnovno uporabo na trikotniških mrežah, ki so bile posnete s 3D skeniranjem. Program vsebuje številne opcije med katerimi smo mi uporabili opcijo „Freeze Current Matrix“, s katero smo zamrznili matriko poljubnega sektorja prve terminske izmere, da bi med uporabo ostalih funkcij osnovni podatki ostali nespremenjeni. Z opcijo „Define New Per Vertex Attribute“ smo definirali vrednost, katero bomo izračunali. Uporabili smo tudi opcijo „Hausdorff Distance“, katera določa oddaljenosti med oblakoma točk ter izpiše minimalne, maksimalne in srednje vrednosti razdalj med oblakoma točk in opcijo „Quality Mapper“ za določanje barv posameznemu sektorju poljubnega oblaka točk. Na koncu smo uporabili opcijo „Show Quality Histogram“ za izris barvnega histograma za vrednost, ki smo je definirali s funkcijo „Define New Per Vertex Attribute“.

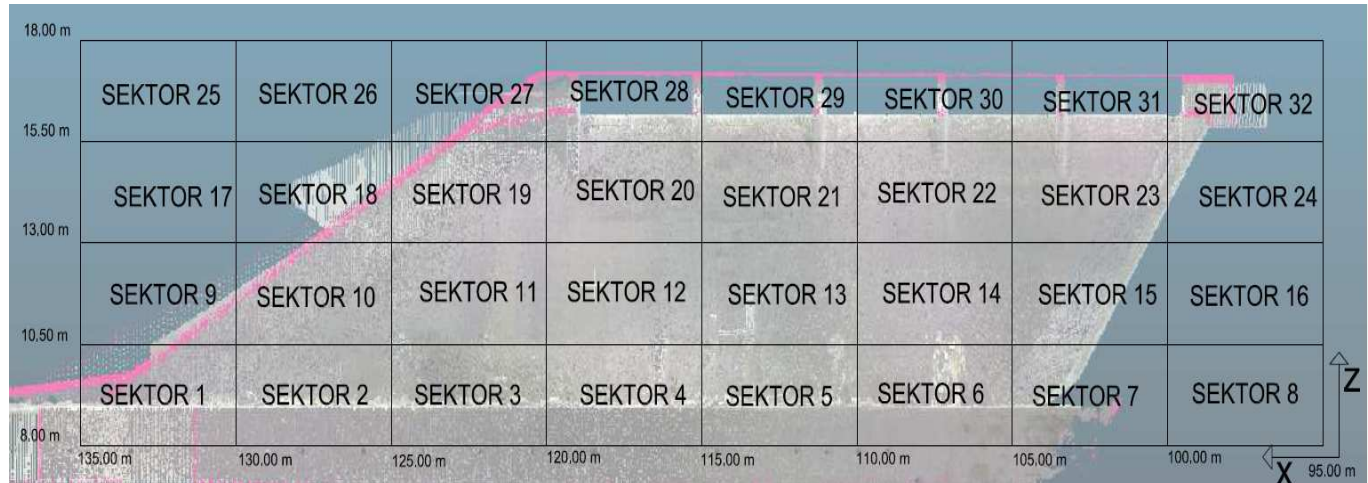
Cloud Compare je 3D program, s katerim obdelujemo oblak točk. Glavni namen programa je primerjava dveh 3D oblakov točk ali primerjava oblaka točk in trikotniške mreže. Njegova specifična octree struktura omogoča izjemne možnosti v svojih posameznih funkcijah (slika 38).



Slika 38. Razlaga octree strukture (<http://www.jara.org>, 2015.)

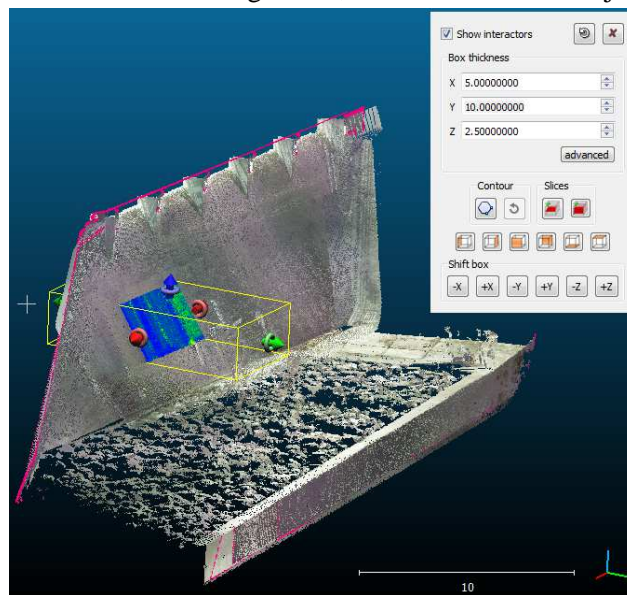
Orodje omogoča obdelavo do 120 milijonov točk in do 2 gigabajtov podatkov. Splošni dodatek, ki ga program vsebuje, omogoča obdelavo oblaka točk s številni algoritmi za registracijo, statistično obdelavo, upravljanje s senzorji, interaktivno ali avtomatsko segmentacijo in ostale. Pri izračunu deformacij smo uporabili opcijo „Merge Multiple Clouds“, katera omogoča združitev več oblakov točk v enega samega in opcijo „Segment“, s katero odstranimo neuporabne, moteče, slučajno zajete točke. Uporabili smo tudi opcijo „Cross Section“ pri izdelavi sektorjev, ki so prikazani v nadaljevanju ter na koncu opcijo „Cloud/Cloud Dist.“, s katero smo določali vertikalne, poševne in ostale oddaljenosti med oblakoma točk.

Odločili smo se, da bomo prelivno steno razdelili na kvadre enakih velikosti, in sicer $5 \times 10 \times 2,5$ metra. Na ta način smo dobili 32 sektorjev (Slika 39).



Slika 39. Razdelitev prelivne stene na sektorje

Za izdelavo sektorjev smo uporabili opcijo „Cross Section“. Kvadre dimenzij $5 \times 10 \times 2,5$ metrov je bilo potrebno raztegniti v smeri pravokotno na prelivno steno, tako da v nadaljevanju lahko izračunamo in prikažemo deformacije prelivne stene (slika 40). Zaradi nagnjenosti stene smo za tretjo dimenzijo kvadra vzeli 10 metrov in s tem zagotovili, da v smeri te dimenzije zajamemo vse točke.



Slika 40. Prikaz izdelave sektorja 12

Tabela 17. Primer: koordinate ogljišč kvadra/sektorja 12

Ogljišča kvadra	x [m]	y [m]	z [m]
1	120,00	102,00	10,50
2	115,00	102,00	10,50
3	115,00	102,00	13,00
4	120,00	102,00	13,00
5	120,00	112,00	10,50
6	115,00	112,00	10,50
7	115,00	112,00	13,00
8	120,00	112,00	13,00

Deformacije prelivne stene smo izračunali v programu MeshLab s pomočjo opcije „Hausdorff Distance“, ki omogoča izračun vertikalnih, poševnih in ostalih oddaljenosti med oblakoma ter izpisuje minimalne, maksimalne in srednje vrednosti razdalj med oblakoma. Pred izračunom z opcijo „Hausdorff Distance“ smo poskušali izbrisati vse točke, ki se ne nahajajo na prelivni steni oziroma so izven definiranih 32 sektorjev. Za neodvisno kontrolo smo izračun razdalj naredili tudi s programom Cloud Compare in opcijo „Cloud/Cloud Dist.“. Rezultati izračuna s programom MeshLab so prikazani v Tabeli 18.

Tabela 18. Izračunane minimalna in maksimalna razdalja ter srednja vrednost oddaljenosti med dvema terminskima izmerama za posamezne sektorje

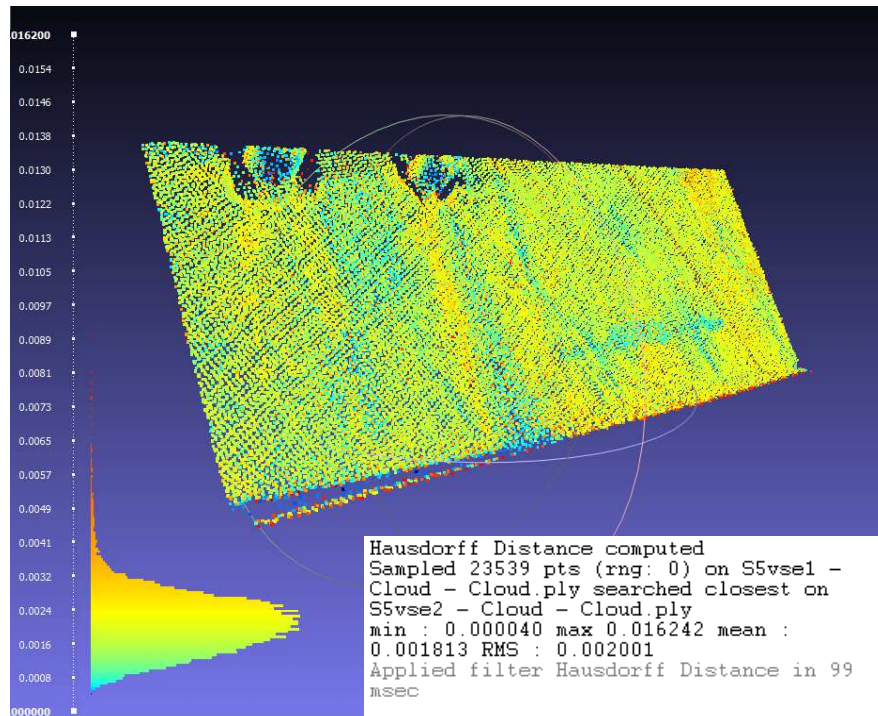
PRIMERJAVA DVEH SKENOGRAMOV – IZRAČUN DEFORMACIJ				
SEKTOR	Maksimalna razdalja [m]	Srednja vrednost [m]	RMS (σ)	Srednja vrednost [m] / RMS (σ)
1	0,0499	0,0039	0,0081	0,5
2	0,0342	0,0027	0,0030	0,9
3	0,0128	0,0018	0,0020	0,9
4	0,0400	0,0026	0,0046	0,6
5	0,0162	0,0018	0,0020	0,9
6	0,0075	0,0015	0,0017	0,9
7	0,0195	0,0026	0,0030	0,9
8	PRAZEN KVAADER			
9	0,0489	0,0033	0,0058	0,6
10	0,0163	0,0021	0,0023	0,9
11	0,0072	0,0014	0,0016	0,9
12	0,0062	0,0017	0,0019	0,9
13	0,0071	0,0017	0,0018	0,9
14	0,0038	0,0014	0,0015	0,9
15	0,0522	0,0013	0,0015	0,9
16	PRAZEN KVAADER			
17	PRAZEN KVAADER			
18	0,0187	0,0041	0,0044	0,9
19	0,0125	0,0016	0,0018	0,9
20	0,0142	0,0017	0,0019	0,9
21	0,0065	0,0018	0,0019	0,9
22	0,0058	0,0016	0,0017	0,9
23	0,0069	0,0015	0,0016	0,9
24	0,0096	0,0028	0,0030	0,9
25	PRAZEN KVAADER			
26	PRAZEN KVAADER			
27	0,0477	0,0027	0,0038	0,7
28	0,0180	0,0023	0,0026	0,9
29	0,0168	0,0024	0,0027	0,9
30	0,0123	0,0022	0,0025	0,9
31	0,0252	0,0026	0,0038	0,7
32	0,0454	0,0039	0,0073	0,5

Maksimalna razdalja predstavlja največjo razdaljo med skenogramoma, ki jo je program zaznal. Srednja vrednost je določena kot kvocient seštevka vseh vrednosti razdalj med točkami v posameznem sektorju in številom točk v sektorju. RMS (Root Mean Square) predstavlja statistično mero razpršenosti opredeljeno kot kvadratni koren povprečja kvadratov vzorca. Zadnji stolpec podaja

razmerje med srednjo vrednostjo oddaljenosti in RMS, iz katerega lahko sklepamo o značilnih premikih. Glede na to, da so vse vrednosti v zadnjem stolpcu manjše od 1, sklepamo, da je razpršenost večja od premika. Če bi bila vrednost večja od 2 ali 3, bi lahko trdili, da je prišlo do značilnega premika.

Iz tabele 17 je razvidno, da smo dobili najslabše natančnosti (največji RMS) za odseke (sektorji 1, 9 in 18), ki se nahajajo na robovih prelivne stene. Do slabih rezultatov pride zaradi točk, ki ne pripadajo prelivni steni, ampak jih je instrument vseeno zajel. Slabi rezultati so tudi posledica neizkušnje pri obdelavi oblaka točk, še posebej na robovih objekta. Na sliki 35 prikazan grafični prikaz oddaljenosti med skenogramoma na enem od problematičnih robnih sektorjev. Na vrhu prelivne stene (sektorji 27, 28, 29, 30, 31 in 32) smo imeli enak problem, ker prelivna stena spreminja obliko iz ravne v zavito ploskev. Slika 42 prikazuje sektor, kjer stena spreminja obliko. Ostali sektorji imajo razpršenosti nekaj večje kot je podana natančnost skeniranja proizvajalca Leica Geosystems. Glede na pridobljene rezultate, ki smo jih izpisali v tabeli 17, sklepamo, da metoda terestričnega laserskega skeniranja glede na uporabljeno mersko opremo, gostoto zajema skeniranih točk in metodologijo obdelave skenogramov ni dovolj natančna metoda za izračun deformacij objektov, za katere je zahtevana visoka natančnost v rangu milimetrov.

Za grafični prikaz oddaljenosti med oblakoma smo uporabili program MeshLab, ker ponuja lepo grafiko. Izbrali smo dva poljubna sektorja ter zanju z barvo prikazali različne oddaljenosti med njima (slika 41 in slika 42).

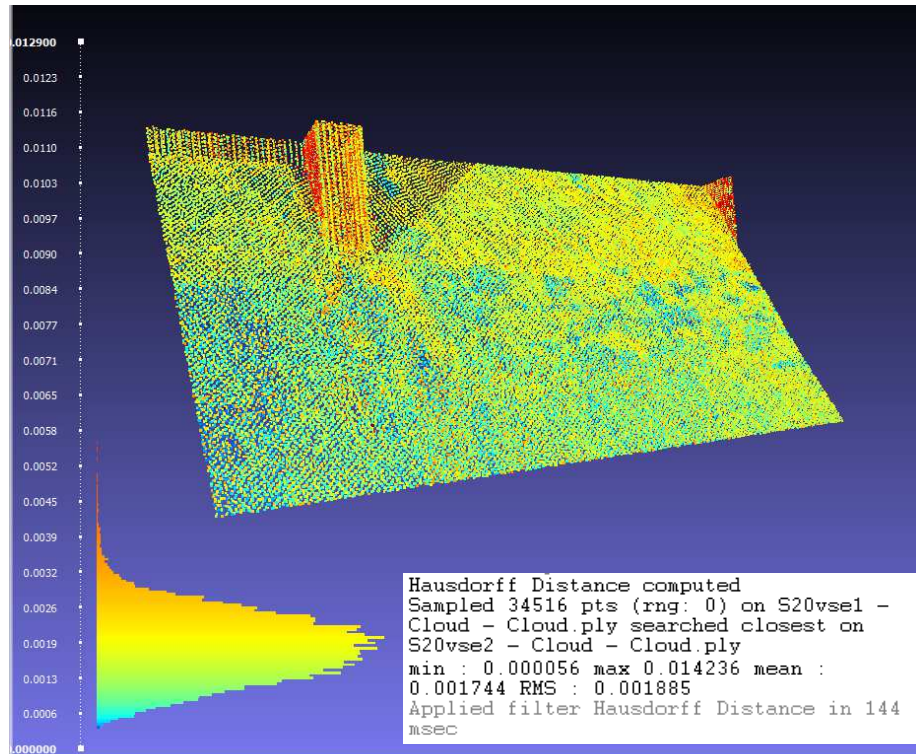


Slika 41. Grafični prikaz oddaljenosti dveh skenogramov v sektorju 5

Tabela 19. Podatki o oddaljenosti med skenogramoma v sektorju 5

Max	0,0162
Mean	0,0018
RMS	0,0020
Srednja vrednost [m] / RMS (σ)	0,9

Grafika vsebuje skalo, ki gre od 0 do 16,2 milimetrov. Večina točk ima oddaljenost med vrednostmi 0 in 4 milimetrov (modra in rumena barva). Največja razdalja med oblakoma znaša 1,6 centimetrov, vendar se zaradi majhnega števila takšnih točk na histogramu ne opazijo. Iz Tabele 19 je razvidno, da smo za srednjo vrednost oddaljenosti dveh skenogramov dobili slaba dva milimetra. Pridobljena natančnost se sklada z deklarirano natančnostjo proizvajalca. Glede na to, da se sektor 5 nahaja na spodnjem robu prelivne stene, sklepamo, da smo pridobili korektne rezultate.



Slika 42. Grafični prikaz oddaljenosti dveh skenogramov v sektorju 20

Tabela 20. Podatki o oddaljenosti med skenogramoma v sektorju 20

Max	0,0142
Mean	0,0017
RMS	0,0019
Srednja vrednost [m] / RMS (σ)	0,9

Grafika vsebuje skalo, ki gre od 0 do 13 milimetrov. Večina točk ima oddaljenost med vrednostmi 0 in 3 milimetre (modra in rumena barva). Največja razdalja je 1,2 centimetra, vendar se zaradi majhnega števila takšnih točk na histogramu ne opazijo. Sektor 20 se nahaja na vrhu prelivne stene, kjer prelivna stena spreminja obliko iz ravne v zavito ploskev. Zaradi tega smo v sektorju 20 za srednjo vrednost oddaljenosti dveh skenogramov pridobili rezultat velikosti 1,7 milimetrov (tabela 20). Pridobljena natančnost se sklada z deklarirano natančnostjo proizvajalca. Glede na položaj na prelivni steni male hidroelektrarne Melje sklepamo, da smo pridobili korektne rezultate.

9 ZAKLJUČEK

V diplomski nalogi je predstavljena uporaba tehnologije terestričnega laserskega skeniranja na primeru prelivne stene male hidroelektrarne Melje z namenom ugotavljanja deformacij.

Prednosti terestričnega laserskega skeniranja so, da pri uporabi metode ni bilo potrebno priti v neposredni stik s prelivno steno. Skener je v kratkem času posnel zelo gosto mrežo točk s 3D koordinatami. Natančnost, ki jo ponuja terestrično lasersko skeniranje je za številne geodetske naloge ustrezna, ni pa primerljiva z najnatančnejšimi geodetskimi metodami določanja 3D koordinat točk. Podatke smo obdelali z dvema računalniškima programoma, ki sta prosto dostopna na internetu. Opisan je tudi postopek obdelave podatkov z uporabo programov CloudCompare in MeshLab. Z uporabo terestričnega laserskega skeniranja smo pridobili podrobni prikaz posnetega območja.

Namen diplomske naloge je bil preučiti primernost uporabe tehnologije laserskega skenerja za ugotavljanje premikov. Ob izdelavi diplomske naloge sem se spoznal z vsemi fazami terestričnega laserskega skeniranja, in sicer: terenskimi meritvami, združitvijo skenogramov ter obdelavo oblaka točk. Terenske meritve smo opravljali skupaj s študenti druge stopnje študijskega programa Geodezija in geoinformatika Fakultete za gradbeništvo in geodezijo, obdelavo podatkov pa sem izvedel samostojno s pomočjo nasvetov mentorice in somentorja.

Osnovni cilj diplomske naloge je bil testiranje novega instrumenta Leica Nova MultiStation MS50 ter izračun deformacij prelivne stene male hidroelektrarne Melje na osnovi laserskega skeniranja. Ugotovimo lahko, da je postopek laserskega skeniranja z omenjenim instrumentom na terenu hiter in enostaven, saj omogoča direktno georeferenciranje oblaka točk, kar pri klasičnih skenerjih predstavlja določen problem. Za obdelavo oblakov točk so na voljo številni prosto dostopni programi, katerih zanesljivost rezultatov je potrebno podrobno testirati. Izbrana programa CloudCompare in MeshLab omogočata obdelavo oblaka točk in izdelavo 3D modela, vendar je za zanesljive rezultate potrebno imeti veliko izkušenj.

Testirali smo hipotezo ali je metoda terestričnega laserskega skeniranja ob uporabi merskega instrumenta Leica Nova Multistation MS50 primerna za ugotavljanje premikov in prišli do nekaterih ugotovitev.

- Srednja vrednost oddaljenosti med dvema terminskima izmerama za celotno prelivno steno znaša 2,2 milimetra, srednja vrednost statistične mere razpršenosti (RMS) pa 2,9 milimetrov, kar je skladno s podanimi tehničnimi specifikacijami instrumenta glede dosegljive natančnosti skeniranja na določenih razdaljah. Iz tega lahko sklepamo, da so premiki prelivne stene male hidroelektrarne Melje majhni in niso statistično značilni.
- Na osnovi meritev z instrumentom Leica Nova Multistation MS50 in rezultatov obdelave oblaka točk lahko sklepamo, da za zadovoljive rezultate stojišče, iz katerega izvajamo meritve, ne sme biti od skeniranega objekta oddaljeno več kot 100 metrov.
- Zaradi omejene natančnosti z metodo skeniranja ni mogoče zaznati zelo majhnih premikov objekta velikostnega reda milimetra.

Zaključim torej lahko, da z uporabljeno metodologijo ne moremo zaznati premikov manjših od ~5 mm. Na obravnavanem primeru nismo zaznali premikov tudi zato, ker se prelivna stena dejansko ne premika, kar se v dveh izmerah na leto ugotavlja tudi s klasičnimi terestričnimi metodami izmere. Postopek primerjave oblakov točk temelji na računanju razdalj med posameznimi točkami oblaka, ki

imajo relativno slabu položajno natančnost. Premike bi določili natančneje, če bi iz velike množice skeniranih točk izravnali parametre geometrijskih oblik, ki bi imeli, zaradi velike nadstevilnosti, visoko natančnost.

Za prihodnost predlagam, da skeniranje opravimo iz več kot 3 stojišč. Predlagam tudi, da se zmanjša hitrost skeniranja in poveča gostota skeniranih točk, saj bi tako pridobili natančnejše rezultate. Za obdelavo oblakov točk si je potrebno vzeti dovolj časa ter pazljivo odstraniti vse točke, ki se ne nahajajo na prelivni steni in niso njen del. Le na tak način bi pridobili bolj natančne in zanesljive rezultate.

VIRI

- [1] Savšek S., Kogoj D., Ambrožič T., Kregar K., Štebe G. 2014. Poročilo o specjalnih geodetskih meritvah v območju sidra S2 na jezu Melje, 7. Geodetska izmera horizontalnih in vertikalnih premikov geodetskih točk. Ljubljana, 30 str.
- [2] Vodopivec F., Kogoj D. 2005. Nov način precizne stabilizacije geodetskih točk za opazovanje premikov, Geodetski vestnik (25.feb.2005) 49, str. 9 – 17.
- [3] Hostnik, A. 2013. Analiza postopkov obdelave podatkov terestričnega laserskega skeniranja v programu RiSCAN PRO. Diplomska naloga. Ljubljana, Univerza v Ljubljani, Fakulteta za gradbeništvo in geodezijo, Oddelek za geodezijo (samozaložba A. Hostnik): 66 str.
- [4] Kogoj, D. 2005. Merjenje dolžin z elektronskimi razdeljemerji. 1. izdaja. 2. natis. Univerza v Ljubljani, Fakulteta za gradbeništvo in geodezijo, Oddelek za geodezijo: 159 str.
- [5] Opravš, P. 2008. Postopek in natančnost tehnologije 3R terestričnega laserskega skeniranja. Diplomska naloga. Ljubljana, Univerza v Ljubljani, Fakulteta za gradbeništvo in geodezijo (samozaložba P. Opravš): 102 str.
- [6] Vosselman, G., Maas, H-G. 2010. Airborne and terrestrial laser scanning. Dunbeath, Whittles Publishing: 320 str.
- [7] Kastelic, M. 2010. Obdelava podatkov laserskega skeniranja v programu Geomagic na primeru Mislejevega portala. Diplomska naloga. Ljubljana, Univerza v Ljubljani, Fakulteta za gradbeništvo in geodezijo (samozaložba M. Kastelic): 95 str.

Ostali viri

Kolenc, R. 2004. Terestrično 3D lasersko skeniranje. Diplomska naloga. Ljubljana, Univerza v Ljubljani, Fakulteta za gradbeništvo in geodezijo: str. 93 str.

Jenič M., Pavelić F., Spreicer M. 2015. Geodetska izmera deformacij prelivne stene male hidroelektrarne Melje. Tehnično poročilo. Ljubljana, Univerza v Ljubljani, Fakulteta za gradbeništvo in geodezijo, Oddelek za geodezijo: 44 f.

Konič, S. 2008. Prispevek k preverjanju zdrsa skalnega bloka z modelom medsebojne preslikave oblakov točk. Diplomska naloga. Ljubljana, Univerza v Ljubljani, Naravoslovnotehniška fakulteta (samozaložba S. Konič): 115 str.

Mala hidroelektrarna Melje. 2014.

https://sl.wikipedia.org/wiki/Mala_hidroelektrarna_Melje (Pridobljeno 30.06.2015.)

Projekt prenove male hidroelektrarne Melje. 2014.

<http://www.energetika-portal.si/novica/n/projekt-prenove-hidroelektrarne-zlatolicje-jezu-melje-in-izgradnje-male-hidroelektrarne-melje-je-z/> (pridobljeno 07.07.2015.)

Mala hidroelektrarna Melje. 2014.

<http://www.dem.si/sl-si/Elektrarne-in-proizvodnja/Elektrarne/Mala-HE-Melje> (pridobljeno 07.07.2015.)

Pravilnik o tehničnem opazovanju visokih jezov. 1966.

http://www.e-konstrukcije.si/user_files/vsebina/Zakonodaja/SFRJ_66_7_81.pdf (pridobljeno 07.07.2015.)

Zakon o varstvu okolja. 2006.

<http://www.uradni-list.si/1/objava.jsp?sop=2006-01-1682> (pridobljeno 07.07.2015.)

Precizna stabilizacija geodetskih točk. 2005.

http://www.geodetski-vestnik.com/49/1/gv49-1_009-017.pdf (pridobljeno 08.07.2015.)

Tehnični podatki o Leica Nova MultiStation MS50. 2015.

<http://www.geoservis.si/produkti/64-tahimetri-za-geodezijo-in-inzenirsko-geodezijo/244-leica-nova-ms50-multistation> (pridobljeno 08.07.2015.)

Tehnični podatki o reflektorjih Leica GPH1P. 2015.

http://www.leica-geosystems.com/en/Surveying-Prisms_1770.htm (pridobljeno 08.07.2015.)

Trigonometrično višinomerstvo. 2015.

http://www.fgg.uni-lj.si/~mkuhar/Pouk/Gradb/Tv/trig_vis.html (pridobljeno 20.07.2015.)

Program MeshLab. 2015.

<https://en.wikipedia.org/wiki/MeshLab> (pridobljeno 24.08.2015.)

Program MeshLab. 2015

<http://www.stefanocostanzo.net/g3d/comparison/> (pridobljeno 24.08.2015.)

Program Cloud Compare. 2015.

<https://en.wikipedia.org/wiki/CloudCompare> (pridobljeno 24.08.2015.)

»Ta stran je namenoma prazna.«

SEZNAM PRILOG

Priloga A. Vhodna datoteka za izračun sredin girusov (HE MELJE-turcic.fld)	A1
Priloga B. LisCad poročilo o sredinah girusov (LisCad report-21.5- pravi.txt)	B1
Priloga C. Vhodna datoteka za položajno izravnavo (položaj.pod)	C1
Priloga D. Poročilo položajne izravnave programa RamWin (položaj.rez)	D1
Priloga E. Vhodna datoteka za višinsko izravnavo (višina.pod)	E1
Priloga F. Poročilo višinske izravnave programa VimWin (višina.rez)	F1

»Ta stran je namenoma prazna.«

PRILOGA A: VHODNA DATOTEKA ZA IZRAČUN SREDIN GIRUSOV (MELJE.fld) – prva terminska izmera 21. 04. 2015.

```
1      010 MS50 HE MELJE.txt
2      011 Tuesday, May 19, 2015
3      051 GR
4      053 M
5      021 XY
900    062  O3   70.0081 238.1196 10.0000
901    062  O4   111.2209 246.7633  9.9650
902    062  O1   88.8150 131.0625 17.1604
903    062  O2   146.8835 112.7614 18.6601
904    062  S1   76.4460 239.8820 11.5150
905    062  S2   99.9720 244.5260 11.4960
500    101          S1   0
6     160        4       14   0
78     111          O2   0.001620 96.818210 145.5111 0000000000
79     111          O1   25.008310 96.645890 109.6703 0000000000
80     111          O3   115.214370 115.191720  6.8694 0000000000
81     111          S2   319.801850 100.352710 23.9798 0000000000
82     111          O4   319.771660 102.978390 35.4875 0000000000
83     111          O4   119.772410 297.021380 35.4877 0000000000
84     111          S2   119.802320 299.647030 23.9800 0000000000
85     111          O3   315.213850 284.809450  6.8695 0000000000
86     111          O1   225.008760 303.353560 109.6703 0000000000
87     111          O2   200.001950 303.181730 145.5112 0000000000
501    ;
88     111          O2   0.001520 96.818320 145.5111 0000000000
89     111          O1   25.008210 96.645800 109.6704 0000000000
90     111          O3   115.214380 115.192090  6.8695 0000000000
91     111          S2   319.800610 100.353040 23.9799 0000000000
92     111          O4   319.771580 102.977790 35.4875 0000000000
93     111          O4   119.773530 297.022500 35.4877 0000000000
94     111          S2   119.801880 299.647350 23.9801 0000000000
95     111          O3   315.213490 284.809560  6.8695 0000000000
96     111          O1   225.008630 303.353640 109.6703 0000000000
97     111          O2   200.001730 303.181730 145.5112 0000000000
503    ;
98     111          O2   0.001190 96.818040 145.5111 0000000000
99     111          O1   25.008160 96.645890 109.6703 0000000000
100    111          O3   115.214480 115.191940  6.8694 0000000000
101    111          S2   319.802010 100.352630 23.9798 0000000000
102    111          O4   319.773430 102.976690 35.4875 0000000000
103    111          O4   119.771860 297.022490 35.4878 0000000000
104    111          S2   119.802370 299.647420 23.9800 0000000000
105    111          O3   315.213810 284.809280  6.8695 0000000000
106    111          O1   225.009100 303.353630 109.6704 0000000000
107    111          O2   200.001980 303.181740 145.5113 0000000000
505    ;
108    111          O2   0.001440 96.818080 145.5110 0000000000
109    111          O1   25.008490 96.646010 109.6703 0000000000
110    111          O3   115.214840 115.191950  6.8695 0000000000
111    111          S2   319.801390 100.352950 23.9798 0000000000
112    111          O4   319.772110 102.977500 35.4875 0000000000
113    111          O4   119.773080 297.022220 35.4878 0000000000
114    111          S2   119.802310 299.647400 23.9800 0000000000
115    111          O3   315.213830 284.809350  6.8695 0000000000
116    111          O1   225.009100 303.353550 109.6704 0000000000
117    111          O2   200.002030 303.181740 145.5112 0000000000
507    ;
118    111          O2   0.001470 96.818170 145.5110 0000000000
119    111          O1   25.008370 96.645870 109.6702 0000000000
120    111          O3   115.214620 115.191910  6.8694 0000000000
121    111          S2   319.800880 100.353170 23.9798 0000000000
122    111          O4   319.771840 102.978980 35.4876 0000000000
123    111          O4   119.774350 297.021520 35.4877 0000000000
124    111          S2   119.802560 299.646970 23.9800 0000000000
125    111          O3   315.213580 284.809330  6.8696 0000000000
126    111          O1   225.009000 303.353480 109.6704 0000000000
127    111          O2   200.001980 303.181910 145.5112 0000000000
509    ;
128    111          O2   0.001480 96.818350 145.5111 0000000000
129    111          O1   25.008330 96.645910 109.6702 0000000000
130    111          O3   115.214860 115.191970  6.8694 0000000000
131    111          S2   319.801540 100.352510 23.9798 0000000000
132    111          O4   319.772490 102.977710 35.4874 0000000000
```

```

133 111      O4 119.772600 297.022200 35.4877 0000000000
134 111      S2 119.802160 299.647270 23.9800 0000000000
135 111      O3 315.214060 284.809430 6.8695 0000000000
136 111      O1 225.009380 303.353990 109.6705 0000000000
137 111      O2 200.002310 303.181840 145.5113 0000000000
511 ;
138 111      O2 0.002140 96.818340 145.5109 0000000000
139 111      O1 25.008930 96.645860 109.6702 0000000000
140 111      O3 115.215370 115.192040 6.8694 0000000000
141 111      S2 319.802840 100.352560 23.9798 0000000000
142 111      O4 319.773510 102.977510 35.4875 0000000000
143 111      O4 119.772860 297.021730 35.4877 0000000000
144 111      S2 119.802510 299.647580 23.9800 0000000000
145 111      O3 315.214440 284.809360 6.8695 0000000000
146 111      O1 225.009770 303.353800 109.6705 0000000000
147 111      O2 200.002840 303.182000 145.5111 0000000000
161 161
513 ;
502 101      S2 0
515 160      4
153 111      O2 0.001240 96.633880 140.0619 0000000000
154 111      O1 28.016010 96.704280 114.1628 0000000000
155 111      O3 108.367430 103.097630 30.6768 0000000000
156 111      O4 309.277950 108.420560 11.5708 0000000000
157 111      S1 109.366720 99.651060 23.9799 0000000000
158 111      S1 309.366300 300.348420 23.9801 0000000000
159 111      O4 109.276660 291.579390 11.5710 0000000000
160 111      O3 308.367580 296.901400 30.6770 0000000000
161 111      O1 228.016430 303.295070 114.1628 0000000000
162 111      O2 200.002090 303.365680 140.0620 0000000000
517 ;
163 111      O2 0.001450 96.633630 140.0617 0000000000
164 111      O1 28.015820 96.703940 114.1626 0000000000
165 111      O3 108.366900 103.097400 30.6767 0000000000
166 111      O4 309.276200 108.421030 11.5709 0000000000
167 111      S1 109.367030 99.650710 23.9798 0000000000
168 111      S1 309.367820 300.349000 23.9800 0000000000
169 111      O4 109.276560 291.579150 11.5710 0000000000
170 111      O3 308.368500 296.901580 30.6770 0000000000
171 111      O1 228.016460 303.295080 114.1629 0000000000
172 111      O2 200.001890 303.365690 140.0621 0000000000
519 ;
173 111      O2 0.001320 96.633770 140.0618 0000000000
174 111      O1 28.015810 96.704070 114.1627 0000000000
175 111      O3 108.366930 103.096550 30.6767 0000000000
176 111      O4 309.277230 108.421030 11.5709 0000000000
177 111      S1 109.366960 99.649590 23.9798 0000000000
178 111      S1 309.365130 300.349460 23.9800 0000000000
179 111      O4 109.275980 291.578810 11.5709 0000000000
180 111      O3 308.366770 296.901650 30.6770 0000000000
181 111      O1 228.016480 303.295230 114.1628 0000000000
182 111      O2 200.001880 303.365760 140.0620 0000000000
521 ;
183 111      O2 0.001300 96.633860 140.0617 0000000000
184 111      O1 28.015580 96.703840 114.1625 0000000000
185 111      O3 108.367490 103.096590 30.6768 0000000000
186 111      O4 309.276930 108.420810 11.5708 0000000000
187 111      S1 109.366050 99.651030 23.9799 0000000000
188 111      S1 309.365360 300.349730 23.9801 0000000000
189 111      O4 109.276680 291.579430 11.5710 0000000000
190 111      O3 308.366590 296.901780 30.6771 0000000000
191 111      O1 228.016540 303.294920 114.1628 0000000000
192 111      O2 200.001820 303.365700 140.0620 0000000000
523 ;
193 111      O2 0.001220 96.633790 140.0618 0000000000
194 111      O1 28.015610 96.704310 114.1626 0000000000
195 111      O3 108.366700 103.097540 30.6769 0000000000
196 111      O4 309.277600 108.421090 11.5708 0000000000
197 111      S1 109.367160 99.649950 23.9798 0000000000
198 111      S1 309.366180 300.349160 23.9800 0000000000
199 111      O4 109.276530 291.579270 11.5709 0000000000
200 111      O3 308.368840 296.899380 30.6770 0000000000
201 111      O1 228.016670 303.295130 114.1627 0000000000
202 111      O2 200.002060 303.365640 140.0619 0000000000
525 ;
203 111      O2 0.001560 96.633830 140.0617 0000000000
204 111      O1 28.015750 96.704140 114.1627 0000000000

```

205 111 O3 108.368140 103.096470 30.6769 0000000000
206 111 O4 309.277230 108.420870 11.5708 0000000000
207 111 S1 109.366430 99.649710 23.9799 0000000000
208 111 S1 309.365940 300.348980 23.9801 0000000000
209 111 O4 109.276660 291.579380 11.5709 0000000000
210 111 O3 308.367330 296.901600 30.6770 0000000000
211 111 O1 228.015980 303.295360 114.1627 0000000000
212 111 O2 200.002180 303.365830 140.0619 0000000000
527 ;
213 111 O2 0.001500 96.633760 140.0618 0000000000
214 111 O1 28.015600 96.704260 114.1627 0000000000
215 111 O3 108.367920 103.098280 30.6768 0000000000
216 111 O4 309.276480 108.420840 11.5708 0000000000
217 111 S1 109.365710 99.650440 23.9799 0000000000
218 111 S1 309.366200 300.349080 23.9800 0000000000
219 111 O4 109.276940 291.579090 11.5709 0000000000
220 111 O3 308.366630 296.900840 30.6770 0000000000
221 111 O1 228.016550 303.295130 114.1627 0000000000
222 111 O2 200.002070 303.365550 140.0619 0000000000
161 161
529 ;
504 101 O1 0
531 160 4 14 0
227 111 O3 221.143200 104.331050 108.9463 0000000000
228 111 S1 225.008470 103.358030 109.6700 0000000000
229 111 S2 238.453370 103.299380 114.1623 0000000000
230 111 O4 244.391350 104.013770 118.0837 0000000000
231 111 O2 351.651560 98.437430 60.9024 0000000000
232 111 O2 151.651370 301.560930 60.9026 0000000000
233 111 O4 44.391990 295.984370 118.0839 0000000000
234 111 S2 38.453920 296.698510 114.1627 0000000000
235 111 S1 25.009310 296.639930 109.6704 0000000000
236 111 O3 21.144000 295.667470 108.9467 0000000000
533 ;
237 111 O3 221.142970 104.331580 108.9465 0000000000
238 111 S1 225.008290 103.358540 109.6700 0000000000
239 111 S2 238.453500 103.299800 114.1624 0000000000
240 111 O4 244.391420 104.014720 118.0838 0000000000
241 111 O2 351.651710 98.437800 60.9023 0000000000
242 111 O2 151.651500 301.561210 60.9024 0000000000
243 111 O4 44.391810 295.984490 118.0839 0000000000
244 111 S2 38.453890 296.698540 114.1627 0000000000
245 111 S1 25.009000 296.639710 109.6704 0000000000
246 111 O3 21.143830 295.667650 108.9467 0000000000
535 ;
247 111 O3 221.142980 104.331800 108.9465 0000000000
248 111 S1 225.009010 103.358400 109.6700 0000000000
249 111 S2 238.453410 103.299690 114.1623 0000000000
250 111 O4 244.391400 104.014540 118.0837 0000000000
251 111 O2 351.651350 98.437890 60.9023 0000000000
252 111 O2 151.651450 301.561440 60.9025 0000000000
253 111 O4 44.391540 295.984000 118.0840 0000000000
254 111 S2 38.453890 296.698090 114.1627 0000000000
255 111 S1 25.008860 296.639620 109.6704 0000000000
256 111 O3 21.144000 295.667190 108.9467 0000000000
537 ;
257 111 O3 221.143150 104.331100 108.9465 0000000000
258 111 S1 225.008430 103.358520 109.6700 0000000000
259 111 S2 238.453200 103.300210 114.1624 0000000000
260 111 O4 244.391390 104.014580 118.0837 0000000000
261 111 O2 351.650980 98.437530 60.9023 0000000000
262 111 O2 151.651480 301.561380 60.9025 0000000000
263 111 O4 44.391980 295.984420 118.0841 0000000000
264 111 S2 38.454200 296.698500 114.1626 0000000000
265 111 S1 25.009260 296.639970 109.6704 0000000000
266 111 O3 21.144110 295.667610 108.9468 0000000000
539 ;
267 111 O3 221.143240 104.331380 108.9465 0000000000
268 111 S1 225.008620 103.358540 109.6699 0000000000
269 111 S2 238.453450 103.300190 114.1623 0000000000
270 111 O4 244.391340 104.014720 118.0838 0000000000
271 111 O2 351.651310 98.437510 60.9023 0000000000
272 111 O2 151.651620 301.561270 60.9025 0000000000
273 111 O4 44.391550 295.984350 118.0840 0000000000
274 111 S2 38.454200 296.698330 114.1626 0000000000
275 111 S1 25.009190 296.639670 109.6704 0000000000
276 111 O3 21.143940 295.667330 108.9467 0000000000

```

541 ;
277 111 O3 221.142950 104.331100 108.9465 00000000000
278 111 S1 225.008550 103.358400 109.6700 00000000000
279 111 S2 238.453660 103.299660 114.1623 00000000000
280 111 O4 244.391510 104.014440 118.0837 00000000000
281 111 O2 351.651400 98.437730 60.9023 00000000000
282 111 O2 151.651390 301.561310 60.9025 00000000000
283 111 O4 44.392010 295.984340 118.0838 00000000000
284 111 S2 38.454060 296.698540 114.1627 00000000000
285 111 S1 25.009020 296.639840 109.6704 00000000000
286 111 O3 21.143930 295.667400 108.9467 00000000000
543 ;
287 111 O3 221.142980 104.331670 108.9466 00000000000
288 111 S1 225.008700 103.358690 109.6702 00000000000
289 111 S2 238.453410 103.299870 114.1625 00000000000
290 111 O4 244.391390 104.014650 118.0838 00000000000
291 111 O2 351.651600 98.437780 60.9024 00000000000
292 111 O2 151.651530 301.561260 60.9025 00000000000
293 111 O4 44.391920 295.984430 118.0840 00000000000
294 111 S2 38.454010 296.698710 114.1627 00000000000
295 111 S1 25.009340 296.640160 109.6703 00000000000
296 111 O3 21.144040 295.668090 108.9468 00000000000
161 161
545 ;
506 101 O2
547 160 4 14 0
299 111 O3 197.192960 103.850080 147.3198 00000000000
300 111 S1 200.001370 103.187030 145.5104 00000000000
301 111 S2 210.438900 103.371580 140.0613 00000000000
302 111 O4 215.654990 104.099230 138.9530 00000000000
303 111 O1 151.651010 101.566580 60.9021 00000000000
304 111 O1 351.650920 298.433750 60.9025 00000000000
305 111 O4 15.654820 295.902050 138.9533 00000000000
306 111 S2 10.439550 296.628010 140.0616 00000000000
307 111 S1 0.002580 296.812450 145.5109 00000000000
308 111 O3 397.193610 296.148200 147.3202 00000000000
549 ;
309 111 O3 197.193220 103.851060 147.3199 00000000000
310 111 S1 200.001160 103.187040 145.5105 00000000000
311 111 S2 210.439260 103.371420 140.0614 00000000000
312 111 O4 215.654680 104.099050 138.9532 00000000000
313 111 O1 151.651110 101.566640 60.9022 00000000000
314 111 O1 351.650730 298.433470 60.9024 00000000000
315 111 O4 15.654890 295.901450 138.9532 00000000000
316 111 S2 10.439260 296.628250 140.0615 00000000000
317 111 S1 0.001370 296.811810 145.5108 00000000000
318 111 O3 397.193470 296.148460 147.3201 00000000000
551 ;
319 111 O3 197.192370 103.850830 147.3199 00000000000
320 111 S1 200.001570 103.187510 145.5106 00000000000
321 111 S2 210.439240 103.371370 140.0614 00000000000
322 111 O4 215.655370 104.098500 138.9531 00000000000
323 111 O1 151.650840 101.566590 60.9022 00000000000
324 111 O1 351.650250 298.433170 60.9024 00000000000
325 111 O4 15.654870 295.901160 138.9532 00000000000
326 111 S2 10.439130 296.628000 140.0616 00000000000
327 111 S1 0.001630 296.811890 145.5108 00000000000
328 111 O3 397.193840 296.148000 147.3202 00000000000
553 ;
329 111 O3 197.192990 103.850590 147.3199 00000000000
330 111 S1 200.001450 103.187270 145.5105 00000000000
331 111 S2 210.438910 103.371370 140.0615 00000000000
332 111 O4 215.655350 104.098720 138.9532 00000000000
333 111 O1 151.651160 101.565800 60.9021 00000000000
334 111 O1 351.650320 298.433270 60.9024 00000000000
335 111 O4 15.655000 295.901370 138.9533 00000000000
336 111 S2 10.439020 296.627680 140.0616 00000000000
337 111 S1 0.001300 296.811530 145.5108 00000000000
338 111 O3 397.193670 296.148400 147.3201 00000000000
555 ;
339 111 O3 197.193100 103.851010 147.3199 00000000000
340 111 S1 200.001540 103.187430 145.5106 00000000000
341 111 S2 210.438990 103.371870 140.0615 00000000000
342 111 O4 215.655100 104.098560 138.9533 00000000000
343 111 O1 151.650860 101.566360 60.9022 00000000000
344 111 O1 351.650960 298.433470 60.9024 00000000000
345 111 O4 15.655370 295.901380 138.9534 00000000000

```

```
346 111      S2 10.438960 296.628090 140.0617 0000000000
347 111      S1 0.001880 296.812280 145.5109 0000000000
348 111      O3 397.193870 296.148700 147.3202 0000000000
557 ;
349 111      O3 197.193670 103.851270 147.3199 0000000000
350 111      S1 200.001490 103.187450 145.5106 0000000000
351 111      S2 210.439150 103.371560 140.0614 0000000000
352 111      O4 215.654870 104.098510 138.9533 0000000000
353 111      O1 151.651040 101.566740 60.9022 0000000000
354 111      O1 351.650580 298.432980 60.9024 0000000000
355 111      O4 15.655320 295.901240 138.9535 0000000000
356 111      S2 10.439110 296.627740 140.0619 0000000000
357 111      S1 0.001590 296.812320 145.5111 0000000000
358 111      O3 397.193800 296.147890 147.3202 0000000000
559 ;
359 111      O3 197.193060 103.850940 147.3199 0000000000
360 111      S1 200.001990 103.187460 145.5104 0000000000
361 111      S2 210.439020 103.371150 140.0614 0000000000
362 111      O4 215.655180 104.098820 138.9532 0000000000
363 111      O1 151.651080 101.566260 60.9021 0000000000
364 111      O1 351.651120 298.433090 60.9024 0000000000
365 111      O4 15.654450 295.901320 138.9534 0000000000
366 111      S2 10.438870 296.628260 140.0616 0000000000
367 111      S1 0.001530 296.812080 145.5108 0000000000
368 111      O3 397.193520 296.148500 147.3201 0000000000
161 161
```

»Ta stran je namenoma prazna.«

**PRILOGA B: LisCad POREČILO O SREDINAH GIRUSOV (LisCad report.txt) – prva
terminska izmera 21. 04. 2015.**

LISCAD Report: Rounds Report
Thursday, May 21, 2015 13:13

File: Mateo
Projection: Plane grid
File Date: Thursday, May 21, 2015
Units
=====

Angle: Degrees Minutes Seconds
Distance: Metres

At S1

To O2 (Backsight reduced to zero)

	Horizontal	Vertical	Face Diff.	Residual
0 00 00.000	87 08 11.098	0 00 00.194	0 00 00.125	
0 00 00.000	87 08 11.276	-0 00 00.162	0 00 00.303	
0 00 00.000	87 08 10.806	0 00 00.713	-0 00 00.167	
0 00 00.000	87 08 10.871	0 00 00.583	-0 00 00.102	
0 00 00.000	87 08 10.741	-0 00 00.259	-0 00 00.231	
0 00 00.000	87 08 11.146	-0 00 00.616	0 00 00.174	
0 00 00.000	87 08 10.871	-0 00 01.102	-0 00 00.102	

Mean of Sets.

	Horizontal	Vertical	SD. Vert.	Range
0 00 00.000	87 08 10.973	0 00 00.200	0 00 00.535	

Distance SD Dist. Range

145.51113 0.00011 0.00040

To O1

	Horizontal	Split	Residual	Vertical	Face Diff.	Residual
22 30 21.870	0 00 00.389	-0 00 00.546	86 58 53.575	0 00 01.782	0 00 00.169	
22 30 22.016	0 00 00.680	-0 00 00.400	86 58 53.299	0 00 01.814	-0 00 00.106	
22 30 22.826	0 00 00.486	0 00 00.410	86 58 53.461	0 00 01.555	0 00 00.056	
22 30 22.874	0 00 00.065	0 00 00.458	86 58 53.785	0 00 01.426	0 00 00.380	
22 30 22.550	0 00 00.389	0 00 00.134	86 58 53.672	0 00 02.106	0 00 00.266	
22 30 22.550	0 00 00.713	0 00 00.134	86 58 52.910	0 00 00.324	-0 00 00.495	
22 30 22.226	0 00 00.454	-0 00 00.190	86 58 53.137	0 00 01.102	-0 00 00.268	

Mean of Sets.

	Horizontal	SD Dir.	Range	Vertical	SD. Vert.	Range
22 30 22.416	0 00 00.389	0 00 01.004	86 58 53.406	0 00 00.310	0 00 00.875	

Distance SD Dist. Range

109.67034 0.00010 0.00030

To O3

	Horizontal	Split	Residual	Vertical	Face Diff.	Residual
103 41 27.933	-0 00 02.754	-0 00 00.405	103 40 19.277	-0 00 03.791	-0 00 00.456	
103 41 27.884	-0 00 03.564	-0 00 00.454	103 40 19.699	-0 00 05.346	-0 00 00.035	
103 41 28.694	-0 00 04.730	0 00 00.356	103 40 19.909	-0 00 03.953	0 00 00.176	
103 41 28.824	-0 00 05.184	0 00 00.486	103 40 19.812	-0 00 04.212	0 00 00.079	
103 41 28.095	-0 00 05.022	-0 00 00.243	103 40 19.780	-0 00 04.018	0 00 00.046	
103 41 28.711	-0 00 05.281	0 00 00.373	103 40 19.715	-0 00 04.536	-0 00 00.019	
103 41 28.225	-0 00 05.281	-0 00 00.113	103 40 19.942	-0 00 04.536	0 00 00.208	

Mean of Sets.

	Horizontal	SD Dir.	Range	Vertical	SD. Vert.	Range
103 41 28.338	0 00 00.397	0 00 00.940	103 40 19.733	0 00 00.221	0 00 00.664	

Distance SD Dist. Range

6.86947 0.00006 0.00020

To S2

	Horizontal	Split	Residual	Vertical	Face Diff.	Residual
287 49 12.972	0 00 00.454	0 00 00.613	90 19 03.202	0 00 00.842	0 00 00.280	
287 49 10.769	0 00 03.434	-0 00 01.590	90 19 03.218	-0 00 01.264	0 00 00.296	
287 49 13.960	-0 00 01.393	0 00 01.601	90 19 02.440	-0 00 00.162	-0 00 00.481	
287 49 12.373	0 00 01.069	0 00 00.014	90 19 02.991	-0 00 01.134	0 00 00.069	
287 49 11.984	0 00 03.791	-0 00 00.375	90 19 04.044	-0 00 00.454	0 00 01.122	
287 49 11.854	-0 00 00.680	-0 00 00.505	90 19 02.489	0 00 00.713	-0 00 00.433	
287 49 12.599	-0 00 03.337	0 00 00.241	90 19 02.068	-0 00 00.454	-0 00 00.854	

Mean of Sets.

	Horizontal	SD Dir.	Range	Vertical	SD. Vert.	Range
287 49 12.359	0 00 00.993	0 00 03.191	90 19 02.922	0 00 00.656	0 00 01.976	

Distance SD Dist. Range

23.97991 0.00011 0.00030

To O4					
Horizontal	Split	Residual	Vertical	Face Diff.	Residual
287 47 35.610	0 00 01.361	-0 00 01.882	92 40 50.356	0 00 00.745	0 00 01.976
287 47 37.813	0 00 05.638	0 00 00.322	92 40 47.570	-0 00 00.940	-0 00 00.810
287 47 38.234	-0 00 07.646	0 00 00.743	92 40 45.804	0 00 02.657	-0 00 02.576
287 47 37.586	0 00 01.231	0 00 00.095	92 40 47.554	0 00 00.907	-0 00 00.826
287 47 39.239	0 00 06.480	0 00 01.747	92 40 51.085	-0 00 01.620	0 00 02.705
287 47 36.906	-0 00 02.333	-0 00 00.586	92 40 47.926	0 00 00.292	-0 00 00.454
287 47 37.052	-0 00 04.374	-0 00 00.440	92 40 48.364	0 00 02.462	-0 00 00.016
Mean of Sets.					
Horizontal	SD Dir.	Range	Vertical	SD. Vert.	Range
287 47 37.492	0 00 01.140	0 00 03.629	92 40 48.380	0 00 01.798	0 00 05.281
Distance	SD Dist.	Range			
35.48761	0.00012	0.00040			

At S2					
To O2 (Backsight reduced to zero)					
Horizontal	Split	Residual	Vertical	Face Diff.	Residual
0 00 00.000			86 58 14.484	0 00 01.426	0 00 00.169
0 00 00.000			86 58 14.063	0 00 02.203	-0 00 00.252
0 00 00.000			86 58 14.176	0 00 01.523	-0 00 00.139
0 00 00.000			86 58 14.419	0 00 01.426	0 00 00.104
0 00 00.000			86 58 14.403	0 00 01.847	0 00 00.088
0 00 00.000			86 58 14.160	0 00 01.102	-0 00 00.155
0 00 00.000			86 58 14.500	0 00 02.236	0 00 00.185
Mean of Sets.					
Horizontal	SD Dir.	Range	Vertical	SD. Vert.	Range
0 00 00.000			86 58 14.315	0 00 00.177	0 00 00.437
Distance	SD Dist.	Range			
140.06187	0.00012	0.00040			

To O1					
Horizontal	Split	Residual	Vertical	Face Diff.	Residual
25 12 47.158	-0 00 01.393	0 00 00.477	87 02 02.920	0 00 02.106	0 00 00.359
25 12 46.883	0 00 00.648	0 00 00.201	87 02 02.353	0 00 03.175	-0 00 00.208
25 12 47.126	0 00 00.356	0 00 00.444	87 02 02.321	0 00 02.268	-0 00 00.241
25 12 46.980	0 00 01.426	0 00 00.299	87 02 02.450	0 00 04.018	-0 00 00.111
25 12 46.980	0 00 00.713	0 00 00.299	87 02 02.872	0 00 01.814	0 00 00.310
25 12 45.344	-0 00 01.264	-0 00 01.338	87 02 02.224	0 00 01.620	-0 00 00.338
25 12 46.300	0 00 01.231	-0 00 00.382	87 02 02.791	0 00 01.976	0 00 00.229
Mean of Sets.					
Horizontal	SD Dir.	Range	Vertical	SD. Vert.	Range
25 12 46.681	0 00 00.656	0 00 01.814	87 02 02.561	0 00 00.290	0 00 00.697
Distance	SD Dist.	Range			
114.16271	0.00010	0.00040			

To O3					
Horizontal	Split	Residual	Vertical	Face Diff.	Residual
97 31 45.322	-0 00 02.268	0 00 00.368	92 47 17.893	0 00 03.143	0 00 00.319
97 31 45.937	0 00 03.758	0 00 00.984	92 47 17.228	0 00 03.305	-0 00 00.345
97 31 43.410	-0 00 02.333	-0 00 01.544	92 47 15.738	0 00 05.832	-0 00 01.835
97 31 44.155	-0 00 04.601	-0 00 00.798	92 47 15.592	0 00 05.281	-0 00 01.981
97 31 46.261	0 00 04.212	0 00 01.308	92 47 21.019	0 00 09.979	0 00 03.446
97 31 45.403	-0 00 04.633	0 00 00.449	92 47 15.689	0 00 06.253	-0 00 01.884
97 31 44.188	-0 00 06.026	-0 00 00.766	92 47 19.853	0 00 02.851	0 00 02.280
Mean of Sets.					
Horizontal	SD Dir.	Range	Vertical	SD. Vert.	Range
97 31 44.954	0 00 01.050	0 00 02.851	92 47 17.573	0 00 02.165	0 00 05.427
Distance	SD Dist.	Range			
30.67691	0.00012	0.00040			

To O4					
Horizontal	Split	Residual	Vertical	Face Diff.	Residual
278 20 53.074	-0 00 06.934	0 00 01.599	97 34 42.695	0 00 00.162	-0 00 00.815
278 20 50.060	-0 00 00.259	-0 00 01.414	97 34 43.846	-0 00 00.583	0 00 00.336
278 20 51.016	-0 00 05.864	-0 00 00.458	97 34 44.396	0 00 00.518	0 00 00.886
278 20 51.794	-0 00 02.495	0 00 00.319	97 34 43.036	-0 00 00.778	-0 00 00.474
278 20 52.377	-0 00 06.188	0 00 00.903	97 34 43.748	-0 00 01.166	0 00 00.238
278 20 51.243	-0 00 03.856	-0 00 00.231	97 34 43.214	-0 00 00.810	-0 00 00.296
278 20 50.757	-0 00 00.356	-0 00 00.717	97 34 43.635	0 00 00.227	0 00 00.125
Mean of Sets.					
Horizontal	SD Dir.	Range	Vertical	SD. Vert.	Range
278 20 51.474	0 00 01.021	0 00 03.013	97 34 43.510	0 00 00.570	0 00 01.701
Distance	SD Dist.	Range			
11.57089	0.00007	0.00020			

To S1

Horizontal	Split	Residual	Vertical	Face Diff.	Residual
98 25 42.098	-0 00 04.115	0 00 00.560	89 41 10.277	0 00 01.685	0 00 02.273
98 25 45.046	0 00 01.134	0 00 03.508	89 41 08.770	0 00 00.940	0 00 00.766
98 25 40.802	-0 00 07.744	-0 00 00.736	89 41 06.211	0 00 03.078	-0 00 01.794
98 25 39.830	-0 00 03.920	-0 00 01.708	89 41 08.106	-0 00 02.462	0 00 00.102
98 25 42.697	-0 00 05.897	0 00 01.159	89 41 07.280	0 00 02.884	-0 00 00.724
98 25 40.381	-0 00 03.596	-0 00 01.157	89 41 07.183	0 00 04.244	-0 00 00.822
98 25 39.911	-0 00 00.259	-0 00 01.627	89 41 08.203	0 00 01.555	0 00 00.199
Mean of Sets.					
Horizontal	SD Dir.	Range	Vertical	SD. Vert.	Range
98 25 41.538	0 00 01.889	0 00 05.216	89 41 08.004	0 00 01.305	0 00 04.066
Distance	SD Dist.	Range			
23.97995	0.00011	0.00030			
At O1					
To O3 (Backsight reduced to zero)					
Horizontal			Vertical	Face Diff.	Residual
0 00 00.000			93 53 55.000	0 00 04.795	-0 00 00.435
0 00 00.000			93 53 55.567	0 00 02.495	0 00 00.132
0 00 00.000			93 53 56.668	0 00 03.272	0 00 01.234
0 00 00.000			93 53 54.854	0 00 04.180	-0 00 00.581
0 00 00.000			93 53 55.761	0 00 04.180	0 00 00.326
0 00 00.000			93 53 55.194	0 00 04.860	-0 00 00.241
0 00 00.000			93 53 55.000	0 00 00.778	-0 00 00.435
Mean of Sets.					
Horizontal			Vertical	SD. Vert.	Range
0 00 00.000			93 53 55.435	0 00 00.635	0 00 01.814
Distance	SD Dist.	Range			
108.94661	0.00014	0.00050			
To S1					
Horizontal	Split	Residual	Vertical	Face Diff.	Residual
3 28 43.540	0 00 00.130	-0 00 00.155	93 01 23.322	0 00 06.610	-0 00 00.815
3 28 43.394	-0 00 00.486	-0 00 00.301	93 01 24.505	0 00 05.670	0 00 00.368
3 28 44.042	-0 00 03.791	0 00 00.347	93 01 24.424	0 00 06.415	0 00 00.287
3 28 43.297	-0 00 00.421	-0 00 00.398	93 01 24.051	0 00 04.892	-0 00 00.086
3 28 43.621	-0 00 00.421	-0 00 00.074	93 01 24.569	0 00 05.800	0 00 00.433
3 28 43.718	-0 00 01.652	0 00 00.023	93 01 24.067	0 00 05.702	-0 00 00.069
3 28 44.252	-0 00 01.361	0 00 00.558	93 01 24.019	0 00 03.726	-0 00 00.118
Mean of Sets.					
Horizontal	SD Dir.	Range	Vertical	SD. Vert.	Range
3 28 43.695	0 00 00.344	0 00 00.956	93 01 24.137	0 00 00.427	0 00 01.247
Distance	SD Dist.	Range			
109.67020	0.00020	0.00050			
To S2					
Horizontal	Split	Residual	Vertical	Face Diff.	Residual
15 34 44.546	-0 00 00.810	-0 00 00.514	92 58 13.409	0 00 06.836	-0 00 00.808
15 34 45.356	-0 00 01.523	0 00 00.296	92 58 14.041	0 00 05.378	-0 00 00.176
15 34 44.918	-0 00 01.750	-0 00 00.141	92 58 14.592	0 00 07.193	0 00 00.375
15 34 44.627	0 00 00.130	-0 00 00.433	92 58 14.770	0 00 04.180	0 00 00.553
15 34 45.161	0 00 00.162	0 00 00.102	92 58 15.013	0 00 04.795	0 00 00.796
15 34 45.761	-0 00 01.879	0 00 00.701	92 58 13.814	0 00 05.832	-0 00 00.403
15 34 45.048	-0 00 01.490	-0 00 00.012	92 58 13.879	0 00 04.601	-0 00 00.338
Mean of Sets.					
Horizontal	SD Dir.	Range	Vertical	SD. Vert.	Range
15 34 45.060	0 00 00.421	0 00 01.215	92 58 14.217	0 00 00.583	0 00 01.604
Distance	SD Dist.	Range			
114.16251	0.00017	0.00040			
To O4					
Horizontal	Split	Residual	Vertical	Face Diff.	Residual
20 55 23.747	-0 00 00.518	-0 00 00.069	93 36 47.628	0 00 06.026	-0 00 01.208
20 55 24.217	-0 00 01.523	0 00 00.400	93 36 48.973	0 00 02.560	0 00 00.137
20 55 23.455	-0 00 02.851	-0 00 00.361	93 36 49.475	0 00 04.730	0 00 00.639
20 55 23.698	-0 00 01.199	-0 00 00.118	93 36 48.859	0 00 03.240	0 00 00.023
20 55 23.050	-0 00 01.588	-0 00 00.766	93 36 49.199	0 00 03.013	0 00 00.363
20 55 24.557	-0 00 01.555	0 00 00.741	93 36 48.762	0 00 03.953	-0 00 00.074
20 55 23.990	-0 00 01.717	0 00 00.174	93 36 48.956	0 00 02.981	0 00 00.120
Mean of Sets.					
Horizontal	SD Dir.	Range	Vertical	SD. Vert.	Range
20 55 23.816	0 00 00.496	0 00 01.507	93 36 48.836	0 00 00.583	0 00 01.847
Distance	SD Dist.	Range			
118.08385	0.00013	0.00040			
To O2					
Horizontal	Split	Residual	Vertical	Face Diff.	Residual

117 27 25.483	-0 00 03.208	-0 00 00.190	88 35 39.930	0 00 05.314	0 00 00.146
117 27 26.584	-0 00 03.467	0 00 00.912	88 35 40.076	0 00 03.208	0 00 00.292
117 27 25.628	-0 00 02.981	-0 00 00.044	88 35 39.849	0 00 02.171	0 00 00.065
117 27 24.624	-0 00 01.490	-0 00 01.048	88 35 39.363	0 00 03.532	-0 00 00.421
117 27 25.515	-0 00 01.264	-0 00 00.157	88 35 39.509	0 00 03.953	-0 00 00.275
117 27 25.774	-0 00 03.208	0 00 00.102	88 35 39.800	0 00 03.110	0 00 00.016
117 27 26.098	-0 00 03.661	0 00 00.426	88 35 39.962	0 00 03.110	0 00 00.178
Mean of Sets.					
Horizontal	SD Dir.	Range	Vertical	SD. Vert.	Range
117 27 25.672	0 00 00.603	0 00 01.960	88 35 39.784	0 00 00.257	0 00 00.713
Distance	SD Dist.	Range			
60.90241	0.00010	0.00030			

At O2**To O3 (Backsight reduced to zero)**

Horizontal	Vertical	Face Diff.	Residual
0 00 00.000	93 27 57.046	0 00 05.573	-0 00 01.034
0 00 00.000	93 27 58.212	0 00 01.555	0 00 00.132
0 00 00.000	93 27 58.585	0 00 03.791	0 00 00.505
0 00 00.000	93 27 57.548	0 00 03.272	-0 00 00.532
0 00 00.000	93 27 57.742	0 00 00.940	-0 00 00.338
0 00 00.000	93 27 59.476	0 00 02.722	0 00 01.396
0 00 00.000	93 27 57.953	0 00 01.814	-0 00 00.127

Mean of Sets.

Horizontal	Vertical	SD. Vert.	Range
0 00 00.000	93 27 58.080	0 00 00.786	0 00 02.430
Distance	SD Dist.	Range	
147.32002	0.00014	0.00040	

To S1

Horizontal	Split	Residual	Vertical	Face Diff.	Residual
2 31 40.156	0 00 01.814	0 00 01.472	92 52 06.820	0 00 01.685	-0 00 01.104
2 31 37.661	-0 00 00.130	-0 00 01.023	92 52 07.873	0 00 03.726	-0 00 00.051
2 31 39.524	-0 00 04.568	0 00 00.840	92 52 08.504	0 00 01.944	0 00 00.581
2 31 38.066	-0 00 02.689	-0 00 00.618	92 52 08.699	0 00 03.888	0 00 00.775
2 31 38.649	-0 00 01.393	-0 00 00.035	92 52 07.743	0 00 00.940	-0 00 00.181
2 31 37.288	-0 00 00.097	-0 00 01.396	92 52 07.711	0 00 00.745	-0 00 00.213
2 31 39.443	-0 00 02.981	0 00 00.759	92 52 08.116	0 00 01.490	0 00 00.192

Mean of Sets.

Horizontal	SD Dir.	Range	Vertical	SD. Vert.	Range
2 31 38.684	0 00 01.067	0 00 02.867	92 52 07.924	0 00 00.616	0 00 01.879
Distance	SD Dist.	Range			
145.51069	0.00020	0.00070			

To S2

Horizontal	Split	Residual	Vertical	Face Diff.	Residual
11 55 16.846	-0 00 00.000	0 00 00.680	93 02 04.583	0 00 01.328	0 00 00.162
11 55 16.765	-0 00 00.810	0 00 00.599	93 02 03.935	0 00 01.069	-0 00 00.486
11 55 17.299	-0 00 05.119	0 00 01.134	93 02 04.259	0 00 02.041	-0 00 00.162
11 55 15.857	-0 00 01.847	-0 00 00.308	93 02 04.778	0 00 03.078	0 00 00.356
11 55 15.388	-0 00 02.592	-0 00 00.778	93 02 04.924	0 00 00.130	0 00 00.502
11 55 15.080	-0 00 00.551	-0 00 01.085	93 02 04.988	0 00 02.268	0 00 00.567
11 55 15.922	-0 00 01.976	-0 00 00.243	93 02 03.482	0 00 01.912	-0 00 00.940

Mean of Sets.

Horizontal	SD Dir.	Range	Vertical	SD. Vert.	Range
11 55 16.165	0 00 00.821	0 00 02.219	93 02 04.421	0 00 00.559	0 00 01.507
Distance	SD Dist.	Range			
140.06153	0.00015	0.00060			

To O4

Horizontal	Split	Residual	Vertical	Face Diff.	Residual
16 36 55.649	-0 00 02.657	-0 00 00.100	93 41 19.432	-0 00 04.147	-0 00 00.268
16 36 55.066	-0 00 00.130	-0 00 00.683	93 41 20.112	-0 00 01.620	0 00 00.412
16 36 56.929	-0 00 06.383	0 00 01.180	93 41 19.691	0 00 01.102	-0 00 00.009
16 36 56.378	-0 00 03.337	0 00 00.629	93 41 19.707	-0 00 00.292	0 00 00.007
16 36 56.070	-0 00 01.620	0 00 00.322	93 41 19.432	0 00 00.194	-0 00 00.268
16 36 54.806	0 00 01.037	-0 00 00.942	93 41 19.577	0 00 00.810	-0 00 00.123
16 36 55.341	-0 00 03.856	-0 00 00.407	93 41 19.950	-0 00 00.454	0 00 00.250

Mean of Sets.

Horizontal	SD Dir.	Range	Vertical	SD. Vert.	Range
16 36 55.748	0 00 00.755	0 00 02.122	93 41 19.700	0 00 00.255	0 00 00.680
Distance	SD Dist.	Range			
138.95326	0.00012	0.00050			

To O1

Horizontal	Split	Residual	Vertical	Face Diff.	Residual
319 00 42.883	-0 00 02.398	0 00 00.623	91 24 35.185	-0 00 01.069	-0 00 00.454

319 00 42.543	-0 00 02.041	0 00 00.282	91 24 35.735	-0 00 00.356	0 00 00.097
319 00 42.106	-0 00 06.674	-0 00 00.155	91 24 36.140	0 00 00.778	0 00 00.502
319 00 42.008	-0 00 04.925	-0 00 00.252	91 24 34.699	0 00 03.013	-0 00 00.940
319 00 42.057	-0 00 02.171	-0 00 00.204	91 24 35.282	0 00 00.551	-0 00 00.356
319 00 40.923	-0 00 01.912	-0 00 01.338	91 24 36.691	0 00 00.907	0 00 01.053
319 00 43.304	-0 00 01.361	0 00 01.044	91 24 35.735	0 00 02.106	0 00 00.097
Mean of Sets.					
Horizontal	SD Dir.	Range	Vertical	SD. Vert.	Range
319 00 42.261	0 00 00.761	0 00 02.381	91 24 35.638	0 00 00.658	0 00 01.993
Distance	SD Dist.	Range			
60.90229	0.00014	0.00040			

»Ta stran je namenoma prazna.«

**PRILOGA C: VHODNA DATOTEKA ZA HORIZONTALNO IZRAVNAVVO (polozaj.pod) –
prva terminska izmera 21. 04. 2015.**

*n
O1 88.8121 131.0642
O2 146.8798 112.7613
S1 76.4462 239.8817
S2 99.9715 244.5262
*o
1 S1 O2 0 0 0.000 1.00 1 DA
1 S1 O1 25 0 69.185 1.00 1 DA
1 S1 O3 115 21 24.500 1.00 1 DA
1 S1 S2 319 80 1.108 1.00 1 DA
1 S1 O4 319 77 8.309 1.00 1 DA
1 S2 O2 0 0 0.000 1.00 1 DA
1 S2 O1 28 1 44.077 1.00 1 DA
1 S2 O3 108 36 57.265 1.00 1 DA
1 S2 O4 309 27 51.463 1.00 1 DA
1 S2 S1 109 36 46.722 1.00 1 DA
1 O1 O3 0 0 0.000 1.00 1 DA
1 O1 S1 3 86 53.380 1.00 1 DA
1 O1 S2 17 31 2.037 1.00 1 DA
1 O1 O4 23 24 80.914 1.00 1 DA
1 O1 O2 130 50 79.234 1.00 1 DA
1 O2 O3 0 0 0.000 1.00 1 DA
1 O2 S1 2 80 82.358 1.00 1 DA
1 O2 S2 13 24 57.299 1.00 1 DA
1 O2 O4 18 46 16.506 1.00 1 DA
1 O2 O1 354 45 74.880 1.00 1 DA
2 S1 O2 145.33028 1.0000 DA
2 S1 O1 109.51884 1.0000 DA
2 S1 O3 6.67487 1.0000 DA
2 S1 S2 23.97971 1.0000 DA
2 S1 O4 35.44905 1.0000 DA
2 S2 O2 139.86677 1.0000 DA
2 S2 O1 114.01032 1.0000 DA
2 S2 O3 30.64077 1.0000 DA
2 S2 O4 11.46988 1.0000 DA
2 S2 S1 23.97972 1.0000 DA
2 O1 O3 108.69552 1.0000 DA
2 O1 S1 109.51856 1.0000 DA
2 O1 S2 114.01016 1.0000 DA
2 O1 O4 117.85020 1.0000 DA
2 O1 O2 60.88458 1.0000 DA
2 O2 O3 147.05193 1.0000 DA
2 O2 S1 145.32967 1.0000 DA
2 O2 S2 139.86644 1.0000 DA
2 O2 O4 138.66670 1.0000 DA
2 O2 O1 60.88437 1.0000 DA
*PS
1
*PD
.0010059
*RK
G
*IK
MM
*IS
DE
*IP
DA DA
*Konec

»Ta stran je namenoma prazna.«

PRILOGA D: Poročilo položajne izravnave programa RamWin (polozaj.rez) – prva terminska izmera 21. 04. 2015.

Izravnava RAvninske geodetske mreže
Program: RAM, ver.4.0, dec. 02
Copyright (C) Tomaž Ambrožič & Goran Turk

Ime datoteke s podatki: polozaj.pod
Ime datoteke za rezultate: polozaj.rez
Ime datoteke za risanje slike mreže: polozaj.ris
Ime datoteke za izračun premikov: polozaj.koo

Datum: 7. 8. 2015
Čas: 9:34:18

Seznam koordinat DANIH točk
=====

Točka	Y (m)	X (m)
O3	70.0081	238.1196
O4	111.2209	246.7633

Vseh točk je 2.

Seznam PRIBLIŽNIH koordinat novih točk
=====

Točka	Y (m)	X (m)
O1	88.8121	131.0642
O2	146.8798	112.7613
S1	76.4462	239.8817
S2	99.9715	244.5262

Vseh točk je 4.

Pregled OPAZOVANJ
=====

Štev.	Stojišče	Vizura	Opozov. smer (gradi)	W (")	Utež (")	Dolžina (m)	Du (m)	Utež Gr
1	S1	O2	0 0 0.000	0.000	1.00			1
2	S1	O1	25 0 69.185	0.000	1.00			1
3	S1	O3	115 21 24.500	0.000	1.00			1
4	S1	S2	319 80 1.108	0.000	1.00			1
5	S1	O4	319 77 8.309	0.000	1.00			1
6	S2	O2	0 0 0.000	0.000	1.00			1
7	S2	O1	28 1 44.077	0.000	1.00			1
8	S2	O3	108 36 57.265	0.000	1.00			1
9	S2	O4	309 27 51.463	0.000	1.00			1
10	S2	S1	109 36 46.722	0.000	1.00			1
11	O1	O3	0 0 0.000	0.000	1.00			1
12	O1	S1	3 86 53.380	0.000	1.00			1
13	O1	S2	17 31 2.037	0.000	1.00			1
14	O1	O4	23 24 80.914	0.000	1.00			1
15	O1	O2	130 50 79.234	0.000	1.00			1
16	O2	O3	0 0 0.000	0.000	1.00			1
17	O2	S1	2 80 82.358	0.000	1.00			1
18	O2	S2	13 24 57.299	0.000	1.00			1
19	O2	O4	18 46 16.506	0.000	1.00			1
20	O2	O1	354 45 74.880	0.000	1.00			1
21	S1	O2		145.3303	0.0000	1.00		

22	S1	O1		109.5188	0.0000	1.00
23	S1	O3		6.6749	0.0000	1.00
24	S1	S2		23.9797	0.0000	1.00
25	S1	O4		35.4490	0.0000	1.00
26	S2	O2		139.8668	0.0000	1.00
27	S2	O1		114.0103	0.0000	1.00
28	S2	O3		30.6408	0.0000	1.00
29	S2	O4		11.4699	0.0000	1.00
30	S2	S1		23.9797	0.0000	1.00
31	O1	O3		108.6955	0.0000	1.00
32	O1	S1		109.5186	0.0000	1.00
33	O1	S2		114.0102	0.0000	1.00
34	O1	O4		117.8502	0.0000	1.00
35	O1	O2		60.8846	0.0000	1.00
36	O2	O3		147.0519	0.0000	1.00
37	O2	S1		145.3297	0.0000	1.00
38	O2	S2		139.8664	0.0000	1.00
39	O2	O4		138.6667	0.0000	1.00
40	O2	O1		60.8844	0.0000	1.00

Podan srednji pogrešek utežne enote smeri (a-priori ocena): 1.00 sekund.

Podan srednji pogrešek utežne enote dolžin (a-priori ocena): 1.010 mm.

Število enačb popravkov je 40.
 - Število enačb popravkov za smeri je 20.
 - Število enačb popravkov za dolžine je 20.
 Število neznank je 12.
 - Število koordinatnih neznank je 8.
 - Število orientacijskih neznank je 4.

POPRAVKI približnih vrednosti

Točka	Dy (m)	Dx (m)	Do (")
O1	0.0014	-0.0015	-2.5
O2	0.0019	-0.0010	-2.2
S1	0.0003	-0.0009	3.3
S2	-0.0004	-0.0005	-3.2

IZRAVNANE vrednosti koordinat in ANALIZA natančnosti

Točka	Y (m)	X (m)	My (m)	Mx (m)	Mp (m)	a (m)	b (m)	Theta (st.)
O1	88.8135	131.0627	0.0004	0.0003	0.0005	0.0004	0.0003	96.
O2	146.8817	112.7603	0.0005	0.0003	0.0006	0.0005	0.0003	71.
S1	76.4465	239.8808	0.0003	0.0001	0.0003	0.0003	0.0000	76.
S2	99.9711	244.5257	0.0003	0.0001	0.0003	0.0003	0.0000	78.

Srednji pogrešek utežne enote /m0/ je 0.90983.

[pvv] = 23.1783462901

[xx] vseh neznank = 32.6142484346

[xx] samo koordinatnih neznank = 0.0000102684

Srednji pogrešek aritmetične sredine /m_arit/ je 0.00021.

Srednji pogrešek smeri /m0*m0_smeri/ je 0.9098 sekund.

Srednji pogrešek dolžin /m0*m0_dolžin/ je 0.9189 milimetrov.

Največji položajni pogrešek /Mp_max/ je 0.0006 metrov.

Najmanjši položajni pogrešek /Mp_min/ je 0.0003 metrov.

Srednji položajni pogrešek /Mp_sred/ je 0.0005 metrov.

PREGLED opazovanih SMERI

Smerni koti in dolžine so izračunani iz zaokroženih koordinat.
 Smeri in smerni koti so izpisani v stopinjah.

Nova točka: S1	Y =	76.4465	X =	239.8808	Orientacijski kot = 151	0	37.159
Vizura	Gr	Utež	Opazov.	smer	Orient.	smer	Def. sm. kot
O2	1	1.00	0	0	0.000	151	0
O1	1	1.00	22	30	22.416	173	30
O3	1	1.00	103	41	28.338	254	42
S2	1	1.00	287	49	12.359	78	49
O4	1	1.00	287	47	37.492	78	48
Nova točka: S2	Y =	99.9711	X =	244.5257	Orientacijski kot = 160	24	10.705
Vizura	Gr	Utež	Opazov.	smer	Orient.	smer	Def. sm. kot
O2	1	1.00	0	0	0.000	160	24
O1	1	1.00	25	12	46.681	185	36
O3	1	1.00	97	31	44.954	257	55
O4	1	1.00	278	20	51.474	78	45
S1	1	1.00	98	25	41.538	258	49
Nova točka: O1	Y =	88.8135	X =	131.0627	Orientacijski kot = 350	2	13.994
Vizura	Gr	Utež	Opazov.	smer	Orient.	smer	Def. sm. kot
O3	1	1.00	0	0	0.000	350	2
S1	1	1.00	3	28	43.695	353	30
S2	1	1.00	15	34	45.060	5	36
O4	1	1.00	20	55	23.816	10	57
O2	1	1.00	117	27	25.672	107	29
Nova točka: O2	Y =	146.8817	X =	112.7603	Orientacijski kot = 328	28	56.624
Vizura	Gr	Utež	Opazov.	smer	Orient.	smer	Def. sm. kot
O3	1	1.00	0	0	0.000	328	28
S1	1	1.00	2	31	38.684	331	0
S2	1	1.00	11	55	16.165	340	24
O4	1	1.00	16	36	55.748	345	5
O1	1	1.00	319	0	42.261	287	29

PREGLED merjenih DOLŽIN

Dolžine so izračunane iz zaokroženih koordinat.
 Adicijska konstanta ni bila izračunana (= 0 metra).

Od točke	Do točke	Utež dolž	Merjena dolžina	Modulirana Mer.*Mk+Ak	Definitivna Proj.-Du	Popravek Mod.dolž.	Projekcij. iz koo.
S1	O2	1.00	145.3303	145.3303	145.3298	-0.0005	145.3298
S1	O1	1.00	109.5188	109.5188	109.5186	-0.0002	109.5186
S1	O3	1.00	6.6749	6.6749	6.6749	0.0001	6.6749
S1	S2	1.00	23.9797	23.9797	23.9788	-0.0009	23.9788
S1	O4	1.00	35.4490	35.4490	35.4489	-0.0001	35.4489
S2	O2	1.00	139.8668	139.8668	139.8668	0.0000	139.8668
S2	O1	1.00	114.0103	114.0103	114.0103	0.0000	114.0103
S2	O3	1.00	30.6408	30.6408	30.6402	-0.0006	30.6402
S2	O4	1.00	11.4699	11.4699	11.4702	0.0003	11.4702
S2	S1	1.00	23.9797	23.9797	23.9788	-0.0009	23.9788
O1	O3	1.00	108.6955	108.6955	108.6960	0.0005	108.6960
O1	S1	1.00	109.5186	109.5186	109.5186	0.0000	109.5186
O1	S2	1.00	114.0102	114.0102	114.0103	0.0001	114.0103
O1	O4	1.00	117.8502	117.8502	117.8504	0.0002	117.8504
O1	O2	1.00	60.8846	60.8846	60.8843	-0.0003	60.8843
O2	O3	1.00	147.0519	147.0519	147.0527	0.0008	147.0527
O2	S1	1.00	145.3297	145.3297	145.3298	0.0001	145.3298
O2	S2	1.00	139.8664	139.8664	139.8668	0.0004	139.8668
O2	O4	1.00	138.6667	138.6667	138.6669	0.0002	138.6669
O2	O1	1.00	60.8844	60.8844	60.8843	-0.0001	60.8843

»Ta stran je namenoma prazna.«

**PRILOGA E: VHODNA DATOTEKA ZA VIŠINSKO IZRAVNAVO (visina.pod) – prva
terminska izmera 21. 04. 2015.**

```
*5
*d
'03' 10.0000
'04' 9.9650
*n
'01' 17.1604
'02' 18.6601
'S1' 11.5150
'S2' 11.4960
*E
'km'
*o
'S1' '02' 7.21464 0.145511
'S1' '01' 5.71553 0.109670
'S1' '03' -1.44809 0.006895
'S1' 'S2' 0.11230 0.023980
'S1' '04' -1.48274 0.035487
'S2' '02' 7.10205 0.140062
'S2' '01' 5.60341 0.114163
'S2' '03' -1.56015 0.030677
'S2' '04' -1.59434 0.011571
'S2' 'S1' -0.11230 0.023980
'01' '03' -7.16202 0.108947
'01' 'S1' -5.71553 0.109671
'01' 'S2' -5.60341 0.114163
'01' '04' -7.19598 0.118084
'01' '02' 1.49889 0.060902
'02' '03' -8.65993 0.147320
'02' 'S1' -7.21465 0.145511
'02' 'S2' -7.10205 0.140063
'02' '04' -8.69456 0.138953
'02' '01' -1.49889 0.060903
*K
```

»Ta stran je namenoma prazna.«

**PRILOGA F: Poročilo višinske izravnavne programa ViMWin (visina.rez) –
prva terminska izmera dne 21. 04. 2015.**

Izravnavna VIŠINSKE GEODETSKE MREŽE
Program: VIM, ver.5.0, mar. 07
Copyright (C) Tomaž Ambrožič & Goran Turk

Ime datoteke s podatki: visina.pod
Ime datoteke za rezultate: visina.rez
Ime datoteke za deformacijsko analizo: visina.def
Ime datoteke za S-transformacijo: visina.str

Ime datoteke za izračun ocene natančnosti premika: visina.koo

Datum: 7. 8. 2015
Čas: 11:47:41

NADMORSKE VIŠINE REPERJEV

=====

Reper	Nadm. viš.	Opomba
O3	10.00000	Dani reper
O4	9.96500	Dani reper
O1	17.16040	Novi reper
O2	18.66010	Novi reper
S1	11.51500	Novi reper
S2	11.49600	Novi reper

Število vseh reperjev = 6
Število danih reperjev = 2
Število novih reperjev = 4

MERITVE VIŠINSKIH RAZLIK IN DOLŽIN

=====

Reper zadaj	Reper spredaj	Merjena viš. razlika	Merjena dolžina
S1	O2	7.21464	0.1455
S1	O1	5.71553	0.1097
S1	O3	-1.44809	0.0069
S1	S2	0.11230	0.0239
S1	O4	-1.48274	0.0354
S2	O2	7.10205	0.1401
S2	O1	5.60341	0.1142
S2	O3	-1.56015	0.0307
S2	O4	-1.59434	0.0116
S2	S1	-0.11172	0.0239
O1	O3	-7.16202	0.1089
O1	S1	-5.71368	0.1097
O1	S2	-5.60125	0.1142
O1	O4	-7.19598	0.1181
O1	O2	1.49889	0.0609
O2	O3	-8.65993	0.1473
O2	S1	-7.21183	0.1455
O2	S2	-7.09989	0.1401
O2	O4	-8.69456	0.1390
O2	O1	-1.49849	0.0609

Število opazovanj = 20

Vektor normalnih enačb je zaseden 0.00 %.

ENAČBE POPRAVKOV VIŠINSKIH RAZLIK

=====

Št. Reper op. zadaj	Reper spredaj	Koefficienti	f	Utež
		a1 a2		
1 S1	O2	-1. 1.	-0.06954	6.8716
2 S1	O1	-1. 1.	-0.07013	9.1155
3 S1	O3	1. 0.	0.06691	145.6240
4 S1	S2	-1. 1.	-0.13130	41.8148
5 S1	O4	1. 0.	0.06726	28.2135

6 S2	O2	-1.	1.	0.06205	7.1397
7 S2	O1	-1.	1.	0.06099	8.7602
8 S2	O3	1.	0.	-0.06415	32.6243
9 S2	O4	1.	0.	-0.06334	86.1475
10 S2	S1	1.	-1.	-0.13072	41.8148
11 O1	O3	1.	0.	-0.00162	9.1788
12 O1	S1	1.	-1.	-0.06828	9.1155
13 O1	S2	1.	-1.	0.06315	8.7602
14 O1	O4	1.	0.	-0.00058	8.4685
15 O1	O2	-1.	1.	0.00081	16.4201
16 O2	O3	1.	0.	0.00017	6.7880
17 O2	S1	1.	-1.	-0.06673	6.8716
18 O2	S2	1.	-1.	0.06421	7.1397
19 O2	O4	1.	0.	0.00054	7.1968
20 O2	O1	1.	-1.	0.00121	16.4201

IZRAČUNANI POPRAVKI VIŠINSKIH RAZLIK

Št. Reper op. zadaj	Reper spredaj	Merjena viš.razlika	Popravek viš.razlike	Definitivna viš.razlika
1 S1	O2	7.21464	-0.00194	7.21270
2 S1	O1	5.71553	-0.00143	5.71410
3 S1	O3	-1.44809	0.00024	-1.44785
4 S1	S2	0.11230	-0.00048	0.11182
5 S1	O4	-1.48274	-0.00011	-1.48285
6 S2	O2	7.10205	-0.00117	7.10088
7 S2	O1	5.60341	-0.00114	5.60227
8 S2	O3	-1.56015	0.00048	-1.55967
9 S2	O4	-1.59434	-0.00033	-1.59467
10 S2	S1	-0.11172	-0.00010	-0.11182
11 O1	O3	-7.16202	0.00007	-7.16195
12 O1	S1	-5.71368	-0.00042	-5.71410
13 O1	S2	-5.60125	-0.00102	-5.60227
14 O1	O4	-7.19598	-0.00097	-7.19695
15 O1	O2	1.49889	-0.00028	1.49861
16 O2	O3	-8.65993	-0.00062	-8.66055
17 O2	S1	-7.21183	-0.00087	-7.21270
18 O2	S2	-7.09989	-0.00099	-7.10088
19 O2	O4	-8.69456	-0.00099	-8.69555
20 O2	O1	-1.49849	-0.00012	-1.49861

Srednji pogrešek utežne enote, $m_0 = 0.002995$ Izračunano odstopanje = ***** mm ($s = 1.786 \text{ km}$).

Dopustna odstopanja v nivelmanskem vlaku:

- niv. mreža 1. reda	$f = +- 1.5 * \text{SQRT}(s+0.04*s^2) = 2.1 \text{ mm}$
- niv. mreža 2. reda	$f = +- 2. * \text{SQRT}(s+0.04*s^2) = 2.8 \text{ mm}$
- niv. mreža 3. reda	$f = +- 5. * \text{SQRT}(s+0.04*s^2) = 6.9 \text{ mm}$
- niv. mreža 4. reda	$f = +- 8. * \text{SQRT}(s+0.06*s^2) = 11.3 \text{ mm}$
- mestna niv. mreža 1. reda	$f = +- 2. * \text{SQRT}(s+0.04*s^2) = 2.8 \text{ mm}$
- mestna niv. mreža 2. reda	$f = +- 3. * \text{SQRT}(s+0.04*s^2) = 4.2 \text{ mm}$

IZRAVNANE NADMORSKE VIŠINE REPERJEV

Reper	Približna višina	Popravek višine	Definitivna višina	Sred.pog. višine
O1	17.16040	0.00188	17.16228	0.00050
O2	18.66010	0.00090	18.66100	0.00053
S1	11.51500	-0.06719	11.44781	0.00022
S2	11.49600	0.06363	11.55963	0.00026

IZRAČUN OBČUTLJIVOSTI VIŠINSKE MREŽE

Št. Reper op. zadaj	Reper spredaj	Q11	Sred.pog. viš.razl.	Qvv	r
1 S1	O2	0.01771	0.00040	0.12782	0.87833
2 S1	O1	0.01556	0.00037	0.09415	0.85821
3 S1	O3	0.00418	0.00019	0.00268	0.39061
4 S1	S2	0.00587	0.00023	0.01804	0.75447

5 S1	O4	0.00418	0.00019	0.03126	0.88194
6 S2	O2	0.01802	0.00040	0.12204	0.87132
7 S2	O1	0.01594	0.00038	0.09822	0.86040
8 S2	O3	0.00522	0.00022	0.02544	0.82982
9 S2	O4	0.00522	0.00022	0.00639	0.55063
10 S2	S1	0.00587	0.00023	0.01804	0.75447
11 O1	O3	0.01537	0.00037	0.09358	0.85896
12 O1	S1	0.01556	0.00037	0.09415	0.85821
13 O1	S2	0.01594	0.00038	0.09822	0.86040
14 O1	O4	0.01537	0.00037	0.10272	0.86987
15 O1	O2	0.01775	0.00040	0.04316	0.70861
16 O2	O3	0.01748	0.00040	0.12984	0.88132
17 O2	S1	0.01771	0.00040	0.12782	0.87833
18 O2	S2	0.01802	0.00040	0.12204	0.87132
19 O2	O4	0.01748	0.00040	0.12147	0.87417
20 O2	O1	0.01775	0.00040	0.04316	0.70861

Skupno število nadštevilnosti je 16.00000000.
Povprečno število nadštevilnosti je 0.80000000.

»Ta stran je namenoma prazna.«